

รายงานฉบับสมบูรณ์

โครงการ พอแรมมินิเพอร์วันน้ำกร่อยในยุคปัจจุบัน
จากภาคใต้ของประเทศไทย

โดย บรรณาจาร์ จำนงค์ไทย และคณะ

สิงหาคม, 2544

๓๐ ๙.๙. ๒๕๔๔

รายงานฉบับสมบูรณ์

โครงการ พ่อแม่มินิเพอร์ราน้ำกร่อยในยุคปัจจุบัน
จากภาคใต้ของประเทศไทย

คณะกรรมการ

สังกัด

- | | |
|---------------------------|---------------------|
| 1. นางจารยา จำเนศ์ไทย | กรมทรัพยากรธรรมชาติ |
| 2. นางสาวนาวี โชติกวนิชย์ | กรมทรัพยากรธรรมชาติ |

สนับสนุนโดยโครงการพัฒนาองค์ความรู้และศึกษาอย่าง
การจัดการทรัพยากรชีวภาพในประเทศไทย (โครงการ BRT)

บทคัดย่อ

ฟอเรมมินิเฟอร์ร่า น้ำกร่อยบริเวณชายฝั่งทะเลอันดามันจาก 6 จังหวัดภาคใต้ ได้แก่ ระนอง พังงา ภูเก็ต ตรัง ยะลา และสตูล จำนวน 92 ชนิด 53 속 31 วงศ์ ได้ถูกค้นพบในการศึกษาครั้งนี้จากป่าชายเลนและหาดทราย ฟอเรมมินิเฟอร์ร่าจากป่าชายเลนส่วนใหญ่มีเปลือกเป็นซิลิกาที่สำคัญ 12 ชนิด ได้แก่ *Arenoparella mexicana*, *Haplophragmoides wilberti*, *Miliammina fusca*, *Ammotium spp.*, *Reophax spp.*, *Remaneica helgolandica*, *Ammobaculites spp.*, *Lituola sp.*, *Textularia earlandi*, *Tiphrotrocha comprimata*, *Trochammina inflata* และ *Trochammina spp.* ในบริเวณหาดทรายเปลือกแคลเซียมคาร์บอเนตเป็นจำนวนมาก ได้แก่ *Ammonia beccarii*, *Elphidium spp.* และ *Pararotalia nipponica* จากลักษณะภูมิประเทศแบ่งออกเป็น 2 กลุ่ม กลุ่มแรก คือ กลุ่มระนอง – พังงา – ภูเก็ต กลุ่มที่สอง คือ กลุ่มตรัง – ยะลา – สตูล กลุ่มแรกมีความหลากหลายของฟอเรมมินิเฟอร์ร่ามากกว่ากลุ่มที่สอง ลักษณะของดินตะกอนได้น้ำ ความเค็มของน้ำ และค่าความเป็นกรด – ด่าง ของบริเวณที่ฟอเรมมินิเฟอร์ร่าอาศัยอยู่ มีผลต่อการกระจายของฟอเรมมินิเฟอร์ร่า

ABSTRACT

The brackish foraminifera, 92 species and 53 genera were found from the estuaries with covered by mangrove forest and coastal zone the Andaman Sea ranging from Ranong, Phang nga, Phuket, Trang, Krabi to Satun provinces. Two assemblages of foraminifera related to physiographic setting : 1) Ranong – Phang nga-Phuket assemblages, 2) Trang-Krabi-Satun assemblages. Twelve genera of arenaceous foraminifera are dominant in mangrove forest such as *Arenoparella mexicana*, *Haplophragmoides wilberti*, *Miliammina fusca*, *Ammotium spp.*, *Reophax spp.*, *Remaneica helgolandica*, *Ammobaculites spp.*, *Lituola sp.*, *Textularia earlandi*, *Tiphrotrocha comprimata*, *Trochammina inflata* and *Trochammina spp.*; whereas the calcareous foraminifera are dominant in coastal area such as *Ammonia beccarii*, *Elphidium spp.* and *Pararotalia nipponica*. The Ranong – Phang nga – Phuket assemblages have lower diversity than the assemblages Trang-Krabi- Satun. Substrate, salinity and pH appear to be factors controlling the distribution of foraminifera.

กิตติกรรมประกาศ

ผู้เขียนขอแสดงความขอบคุณ ดร.อัศนี มีสุข ที่แนะนำให้ผู้เขียนเข้าร่วมโครงการ BRT คุณสันติ ศรีจำ คุณสมเกียรติ พธิรักษ์ ที่ช่วยเหลือในภาคสนามเป็นอย่างดี คุณปรางมาศ สุริยะฉาย คุณสุภาภรณ์ รุ่งสุวรรณ์สกุล คุณไวยพจน์ วรกนก ได้ช่วยเหลือในเรื่องรูปประกอบในการวิจัย คุณขันธ์พงษ์ และ คุณนพพร จริงจิตรา ช่วยในการวิเคราะห์ทางเคมี ดร.พรทิพย์ จันทร์มงคล จากคณะวิทยาศาสตร์ มหาวิทยาลัยเชียงใหม่ และ คุณสุทธิพย์ มาระเนต์ ที่ช่วยเหลือเกี่ยวกับ Cluster analysis เป็นอย่างดี คุณพกามาส รอตันดุย และคุณวันดี มหาพรพย์สมบัติ ที่ช่วยในการพิมพ์ต้นฉบับ ซึ่งทุกท่านมีส่วนช่วยเหลือในการวิจัยนี้ให้สำเร็จลุล่วงได้ด้วยความเรียบร้อย

โครงการวิจัยนี้ได้รับทุนสนับสนุนจากโครงการพัฒนาองค์ความรู้และศึกษาโดยการ จัดการทรัพยากรชีวภาพในประเทศไทย ซึ่งร่วมจัดตั้งโดยสำนักงาน กองทุนสนับสนุนการวิจัย และ ศูนย์พันธุ์วิศวกรรมและเทคโนโลยีชีวภาพแห่งชาติ BRT 142007

สารบัญ

หน้า

บทคัดย่อ

กิตติกรรมประกาศ

สารบัญ

บทสรุปสำหรับนักบริหาร.....	1
Executive Summary Report.....	4
สารบัญตาราง และภาคผนวก.....	7
สารบัญภาพ.....	8
บทนำ.....	9
พอเเรมมินิฟอร์มา.....	9
ປ່າຊາຍເລນ.....	10
ຫາດທ່າຍ.....	11
ລັກະພະທາງກາຍກາພແລະອຮັດວິທີ.....	11
ໜົດຂອງໝາຍຝຶ່ງທະເລ.....	13
ສາພຸກມືອາກາສ.....	13
ອຮັດວິທີ.....	14
ວິທີດໍາເນີນງານ.....	14
ວັດຖຸປະສົງ.....	21
ขັ້ນຕອນແລະວິທີດໍາເນີນງານ.....	21
ผลการศึกษา.....	21
ອນຸกรມວິຈານ.....	24
ກາງແພວກະຈາຍຂອງຝອແຮມມິນິຟອົວ່ານໍາກວ່ອຍ.....	42
ຄວາມສົ່ມພັນຮູ້ຂອງຝອແຮມມິນິຟອົວ່າກັບສິ່ງແວດລ້ອມ.....	45
ດິນຕະກອນໄຕ້ນໍ້າ.....	45
ຄວາມເຄີມຂອງນໍ້າ.....	45
ຄ່າຄວາມເປັນກວດ-ດ້າງ (pH)	45
ປຣິມານ Total sulfide ແລະຝອສເຟ.....	46

สารบัญ

หน้า

ความหลากหลายของฟอเรนซิสเคนร่า.....	48
ระโนง – พังงา – ภูเก็ต.....	48
กรุงปี – ตรัง – สตูล	49
การวิเคราะห์จัดกลุ่ม.....	52
การเตรียมเที่ยบฟอเรนซิสเคนร่าที่อยู่บริเวณทะเลอันดามันและอ่าวไทย.....	56
ปัญหาและอุปสรรคพร้อมแนวทางการแก้ไข.....	57
การวิเคราะห์ผลการวิจัย.....	57
บทสรุป.....	61
เอกสารอ้างอิง.....	62
ภาคผนวก แผ่นภาพและคำบรรยาย.....	65

บทสรุปสำหรับนักบริหาร

ฟอเรมมินิเฟอร่าร่าน้ำกร่อยในยุคปัจจุบันจากภาคใต้ของประเทศไทย

ฟอเรมมินิเฟอร่า คืออะไร

ฟอเรมมินิเฟอร่าเป็นสัตว์ขนาดเล็กจัดอยู่ในไฟลัมโปรตอซัว อาศัยอยู่ในน้ำทะเลเป็นส่วนใหญ่ ในน้ำกร่อยและน้ำจืด มีจำนวนน้อยลงตามลำดับ มีเปลือกหุ้มตัวแบ่งเป็น 2 ชั้นิดคือ เปลือกชนิดซิลิกา และเปลือกชนิดแคลเซียมคาร์บอนेट มีรูปร่างหลายแบบ เป็นสัตว์ที่มีริ้วน้ำจำนวนมากมาก ตั้งแต่ Ordovician (500 ล้านปี) จนถึงปัจจุบัน เนื่องจากเปลือกของมันแข็งจึงสามารถถูกเก็บรักษา เป็นฟอสซิลได้ การดำรงชีพของมันมีทั้งอาศัยบนผิวดินตะกอนใต้น้ำ (benthonic) และล่องลอยตามผิวน้ำ (planktonic) ฟอสซิลของมันมีประميณ์มากในทางธรณีวิทยาโดยเฉพาะอุตสาหกรรมน้ำมัน เป็นตัวกำหนดอายุของชั้นหินที่มีประสิทธิภาพช่วยในการทำแผนที่ธรณีวิทยา บอกถึงลิ่งแวดล้อมในอดีต เช่น ความลึก ความเค็ม อุณหภูมิของน้ำ เป็นตัวกำหนดตำแหน่งของชั้นหิน ฟอเรมมินิเฟอร่า ในยุคปัจจุบันก็เป็นประميณ์ต่อระบบบินิเวคคือ เป็นห่วงโซ่ออาหารชั้นต้นของสัตว์น้ำ มีการศึกษาในต่างประเทศมากกว่า 100 ปี มาแล้ว ในประเทศไทยการศึกษาเรื่องนี้ยังไม่แพร่หลายนัก

วัตถุประสงค์ของการศึกษา

- เพื่อศึกษาความหลากหลายและปริมาณของฟอเรมมินิเฟอร่าในน้ำกร่อยในยุคปัจจุบัน ที่พบในдинตะกอน บริเวณภาคใต้ของประเทศไทยทางด้านทะเลอันดามัน ได้แก่ จังหวัดระนอง พังงา ภูเก็ต กระบี่ ตรัง และสตูล
- เพื่อการศึกษาเบรียบเทียบความสัมพันธ์ของฟอเรมมินิเฟอร่าในน้ำกร่อยของผู้ที่ทะเลอันดามันกับผู้ที่ทะเลทางด้านอ่าวไทย โดยเทียบกับข้อมูลของ Jumnonthai, 2000

วิธีการศึกษา

- เก็บตัวอย่างดินตะกอนจากบริเวณน้ำกร่อยในป่าชายเลนและชายหาด หาตำแหน่งที่เก็บตัวอย่างพร้อมทั้งบันทึกคุณสมบัติของน้ำ เช่น อุณหภูมิ ความเค็ม pH ความลึก และเวลา
- ล้างตัวอย่างดินตะกอนในห้องปฏิบัติการ ทำให้แห้ง วัดปริมาตรของดินตะกอน 10-60 ml ตรวจและคัดเลือกตัวกล้องจุลทรรศน์ บางตัวที่น่าสนใจจะถูกนำไปถ่ายภาพด้วยเครื่อง SEM
- จัดจำแนกชนิดและจำนวนของฟอเรมมินิเฟอร่า

ประโยชน์ที่จะได้รับจากการศึกษา

1. ในทางธรณีวิทยามีคำที่กล่าวว่า “Present is the key to the past” ซึ่งหมายถึงการเรียนรู้ในปัจจุบันจะทำให้ทราบถึงความเป็นไปในอดีตได้ และเนื่องจากฟอเรมมินิเพอร์ร่ามีริบบันการมาขยานานจนถึงปัจจุบัน บางชนิดสูญพันธุ์ไปแล้วในอดีต บางชนิดมีชีวิตอยู่ในปัจจุบันและสืบสานไปถึงยุคหลังๆ เช่น Carboniferous, Jurassic, Cretaceous หรือ Tertiary ได้ ฉะนั้น การรู้ปัจจัยในการดำรงชีพของมัน การแพร่กระจายของมันในน้ำกร่อยในภาวะปัจจุบัน จะทำให้เราเข้าใจถึงสภาพในอดีตได้ดีขึ้น

2. ข้อมูลที่ได้จะเป็นข้อมูลเบื้องต้น ที่ให้ภาพค่อนข้างสมบูรณ์ เพราะได้เปรียบเทียบระหว่างข้อมูลที่ศึกษาฟอเรมมินิเพอร์ร่าทางด้านทะลอดันตามัน และด้านอ่าวไทย เพื่อผู้ที่จะทำการศึกษาต่อไป

ผลการศึกษาวิจัย

จากการเก็บตัวอย่างดินตะกอนจำนวน 39 แหล่ง จากชายฝั่งทะเลอันดามัน 6 จังหวัด ได้แก่ ระนอง พังงา ภูเก็ต กระบี่ ตรัง และสตูล พบร่องฟอเรมมินิเพอร์ร่าน้ำกร่อยใน 34 แหล่ง และ 12 แหล่ง มีจำนวนฟอเรมมินิเพอร์ร่ามากกว่า 200 ส่วนใหญ่เป็น benthonic นอกจาก PT2 แหล่งเดียว มี planktonic ปะปนเพียงเล็กน้อย เนื่องจากติดต่อกับทะเลเปิด จำแนก เป็น 31 วงศ์ 53 สกุล และ 92 ชนิด

สภาพแวดล้อมแบ่งออกได้เป็น 2 ชนิด คือ ป่าชายเลน และหาดทราย ป่าชายเลนมีดินตะกอนเป็นดินเลน มีเศษพืชปะปนอยู่มาก มีรายปะปนเล็กน้อย ฟอเรมมินิเพอร์ร่าน้ำกร่อยที่พบมีเปลี่ยกเป็นซิลิกาเกือบทั้งหมด อาจจะมีเปลี่ยกแคลเซียมคาร์บอเนตเพียงเล็กน้อย หรือไม่มี และมี 12 ชนิด ที่สำคัญพบเฉพาะป่าชายเลนและที่พับบอยมาก ได้แก่ *Arenoparella mexicana*, *Haplophragmoides wilberti* และ *Trochammina spp.* ส่วนเปลี่ยกแคลเซียมคาร์บอเนตที่สามารถคงทนต่อสภาพความเค็มของน้ำตื้น ได้แก่ *Ammonia beccarii*, *Nonion scaphum* และ *Helenina anderseni* สภาพแวดล้อมที่เป็นหาดทราย ส่วนใหญ่มีเปลี่ยกแคลเซียมคาร์บอเนต ได้แก่ *A.beccarii*, *Elphidium spp.* และ *Pararotalia nipponica* ดินตะกอนที่ศึกษาส่วนใหญ่ได้จากป่าชายเลน และได้จากหาดทราย 3 ตัวอย่าง คือ PT2, KB3 และ PA5

ปริมาณของฟอเรมมินิเพอร์ร่าที่พบในแหล่งต่างๆ มีดังนี้

ระนอง (RN1-9)	= 3%	กระบี่ (KB1-7)	= 23%
พังงา (PA1-10)	= 8%	ตรัง (TR1-5)	= 3%
ภูเก็ต (PT1-2)	= 31%	สตูล (ST1-5)	= 32%

ปัจจัยที่มีผลต่อการแพร่กระจายของฟอเรมมินิเฟอร์น้ำกร่อย คือ

1. ดินตะกอนใต้น้ำ (Substrate) จะกำหนดชนิดและปริมาณของฟอเรมมินิเฟอร่า
2. ความเค็มของน้ำ ค่าความเค็มของน้ำสูงมีแนวโน้มว่าจะมีปริมาณฟอเรมมินิเฟอร์สูง (0.2-4%)
3. ค่าความเป็นกรด-ด่าง (pH) ค่า pH สูงมีแนวโน้มว่าจะมีปริมาณฟอเรมมินิเฟอร์สูง (6.5-8.5) ความหลากหลายของฟอเรมมินิเฟอร่า (Diversity) ใช้สูตรคำนวนของ Shannon-Weaver diversity index แสดงโดย

$$H = -\sum p_i \ln p_i$$

ระนอง (RN1-9) พบ 4-16 ชนิด ค่าความหลากหลาย 1.14-1.87

พังงา (PA1-10) พบ 4-22 ชนิด ค่าความหลากหลาย 0.47-2.25

ภูเก็ต (PT1-2) พบ 7-28 ชนิด ค่าความหลากหลาย 1.50-2.26

กระบี่ (KB1-7) พบ 4-34 ชนิด ค่าความหลากหลาย 0.85-2.02

ตรัง (TR1-6) พบ 3-13 ชนิด ค่าความหลากหลาย 0.24-2.32

สตูล (ST1-5) พบ 10-26 ชนิด ค่าความหลากหลาย 1.36-2.69

จากการศึกษาเบรียบเทียบกับข้อมูลที่ได้จากทะเลทางด้านตะวันออก (อ่าวไทย) พบร่วมกับฟอเรมมินิเฟอร่าของป่าชายเลนทั้งด้านตะวันตกด้านด้านแม่น้ำและด้านอ่าวไทยเป็นชนิดเดียวกัน ทำให้ได้ภาพรวมของฟอเรมมินิเฟอร์น้ำกร่อยบริเวณภาคใต้ที่ค่อนข้างสมบูรณ์

ปัญหาและอุปสรรค

1. ฟอเรมมินิเฟอร์น้ำกร่อยในประเทศไทย ยังไม่เป็นที่รู้จักกันทั่วไป การศึกษาครั้งนี้เป็นการเริ่มต้นเพื่อให้ผู้อุปนมาศึกษาต่อไป
2. ป่าชายเลนกำลังถูกทำลายโดยใช้เป็นที่อยู่อาศัย ทำนาภูมิ หรือตัดไม้ในป่าชายเลนเพื่อทำเชื้อเพลิง เป็นการทำลายห่วงโซ่ออาหารของสัตว์น้ำและแหล่งอาหารของมนุษย์เอง

Executive Summary Report

Recent brackish foraminifera from southern peninsular Thailand

What is foraminifera?

Foraminifera are classified in Phylum Protozoa. They live in marine, brackish and fresh water. The test is composed of silica and calcium carbonate. The foraminifers have a long way for evolution and they appeared in the earth since Ordovician to present day. They can be found as fossil in sedimentary rock. They are benthonic and planktonic and very useful in oil industry and in geology as the marker in stratigraphic units, index fossil to determine age of sedimentary rock and determine the paleoenvironment of the basin. The living foraminifera are the basic food chain of life in the brackish water.

Aim of study

1. To study the distribution of brackish foraminifera along the Andaman sea, ranging from Ranong, Phang nga, Phuket, Trang, Krabi to Satun provinces.
2. To compare the result of this study with foraminifera from eastern shoreline along the Gulf of Thailand (Jumnongthai, 2000).

Method

1. The samples were collected from 39 locations along Andaman sea from mangrove swamps and sandy coast ranging from Ranong, Phang nga, Phuket, Krabi, Trang and Satun. The locations, temperature, pH, salinity, dept and date were recorded.
2. In laboratory, the samples were washed and wet seive over 200 mesh. Then let the residue dry in the room temperature. The foraminifers were picked under microscope and the interesting specimens were scanned by SEM.
3. The foraminifers were classified and counted.

What is the benefit for Thailand to study foraminifera?

1. In geology, there was a sentence "Present is the key to the past" and it means that knowledge of present day can be extended to the past. The study of living foraminifera

is basic of understanding the ancient environment. Foraminifers are most commonly used by the petroleum geologist.

2. This is a basic data on living brackish foraminifera from southern peninsular Thailand for someone to study.

Result of the study

Thirty four of the 39 samples yield 92 species and were found to contain brackish foraminifera and 12 of these samples contained populations more than 200 individuals. Most of all are benthioncs except PT2 with few planktonics, *Globigerina* sp. and *Orbulina universa*, contaminated in the sediment due to wave action from open sea.

Twelve genera of arenaceous foraminifera were found in mangrove swamps, but three of them were very common such as *Arenoparella mexicana*, *Haplophragmoides wilberti* and *Trochammina* spp. In mangrove swamp, with low salinity 0.5-4‰) the calcareous foraminifera were found but rare. They can tolerated in low salinity such as *Ammonia beccarii*, *Nonion scapulum* and *Helenina anderseni*.

In sandy coast most the calcareous foraminifera were found, but arenaceous foraminifera were rare. The calcareous foraminifera were *A. beccarii*, *Elphidium* spp. and *Pararotalia nipponica*.

The distribution of foraminifera at Ranong (RN 1-9)	= 3%
Phang nga (PA 1-10)	= 8%
Phuket (PT 1-2)	= 31%
Krabi (KB 1-7)	= 23%
Trang (TR 1-5)	= 3%
Satun (ST 1-5)	= 32%

The factors controlling of the foraminifera distribution are substrate, salinity and pH.

DIVERSITY Species diversity value for the samples, expressed as Shannon-Weaver diversi ty index which was defined by the equation

$$H = -\sum p_i \ln p_i$$

- At Ranong (RN 1-9) with 4-16 species diversity 1.14-1.87
- At Phang nga (PA 1-10) with 4-22 species diversity 0.47-2.25
- At Phuket (PT1-2) with 7-28 species diversity 1.50-2.26
- At Krabi (KB 1-7) with 4-34 species diversity 0.85-2.02
- At Trang (TR 1-6) with 3-13 species diversity 0.24-2.32
- At Satun (ST 1-5) with 10-26 species diversity 1.36-2.69

The data of foraminifera of this study is compared to the information of foraminifera from the eastern shoreline along the Gulf of Thailand. The foraminifera in mangrove areas from the Andaman Sea are the same species as in the eastern shoreline and make the picture of the distribution of foraminifera in southern peninsular rather complete.

Problems

1. The foraminifera is not well-known among Thai biologists. This is the first study and let someone to study in more detail.
2. The mangrove swamps are destroyed by human being and it will be the cause of no food products enough to feed the people in future.

สารบัญตาราง

	หน้า	
ตารางที่ 1	แสดงตำแหน่งที่แน่นอนของการเก็บตัวอย่างดินตะกอน.....	20
ตารางที่ 2	แสดงความเค็มของน้ำ pH ความลึก เวลา และอุณหภูมิ.....	23
ตารางที่ 3	แสดงจำนวนฟอเรมมินิเพอร่าและค่าความเค็มของน้ำ.....	46
ตารางที่ 4	แสดงจำนวนฟอเรมมินิเพอร่าและค่า pH ของน้ำ.....	46
ตารางที่ 5	ผลการตรวจหา total sulfide จากห้องปฏิบัติการ.....	47
ตารางที่ 6	ผลการตรวจหาฟอลสเฟตในห้องปฏิบัติการ.....	48
ตารางที่ 7	แสดงความหลากรายของฟอเรมมินิเพอร่า.....	50
ตารางที่ 8	สิ่งมีชีวิตขนาดเล็กที่พบร่วมกับฟอเรมมินิเพอร่า.....	54
ตารางที่ 9	แสดงจำนวนและชนิดของฟอเรมมินิเพอร่าและดินตะกอน.....	55
ตารางที่ 10	ฟอเรมมินิเพอร่าและความเค็มของน้ำบริเวณผึ้งทะเลด้านอ่าวไทย.....	56
ตารางที่ 11	แสดงความสัมพันธ์ระหว่างฟอเรมมินิเพอร่ากับสิ่งแวดล้อมในป่าชายเลน.....	58

ภาคผนวก

ตารางที่ 12	แสดงการแพร่กระจายของฟอเรมมินิเพอร่าในร่องรอยแบบกึ่งปริมาณ (semi-quantitative) กำหนดให้ R = 1-3, F = 4-10, C = 11-99 และ A มากกว่า 100.....	79
ภาพที่ 10	แผนภาพแสดงเวลาทางธรรมเนียม.....	91

สารบัญภาพ

	หน้า
ภาพที่ 1 การกระจายพื้นที่ป่าชายเลนในประเทศไทย.....	12
ภาพที่ 2 แผนที่แสดงการเก็บตัวอย่างดินตะกอนตามแนวชายฝั่งทะเลอันดามัน.....	15
ภาพที่ 3 KB6 จำพวกคลองท่อ จังหวัดกรุงปี.....	19
ภาพที่ 4 TR1 หาดปากเมง จำพวกสีเงา จังหวัดตรัง.....	19
ภาพที่ 5 แสดงสัดส่วนของฟอเรมมินิเพอร์ราน้ำกร่อยในบริเวณจังหวัดระนอง พังงา ภูเก็ต กระปี ตรัง และสตูล.....	44
ภาพที่ 6 แท่งกราฟแสดงจำนวนและชนิดของฟอเรมมินิเพอร์ราน้ำกร่อยในบริเวณหาดทราย.....	44
ภาพที่ 7 กราฟแสดงความหลากหลายของฟอเรมมินิเพอร์ราน้ำกร่อยในจังหวัดระนอง พังงา กระปี ตรัง และสตูล.....	51
ภาพที่ 8 Cluster analysis จาก 12 แหล่งโดยใช้ SPSS.....	53
ภาพที่ 9 แสดงการแพร่กระจายของ <i>A.mexicana</i> , <i>H.wilberti</i> และ <i>Trochammina spp.</i> ใน บริเวณป่าชายเลน.....	59
คำบรรยาย แผ่นภาพที่ 1	66
แผ่นภาพที่ 1	67
คำบรรยาย แผ่นภาพที่ 2	68
แผ่นภาพที่ 2	69
คำบรรยาย แผ่นภาพที่ 3	70
แผ่นภาพที่ 3	71
คำบรรยาย แผ่นภาพที่ 4	72
แผ่นภาพที่ 4	73
คำบรรยาย แผ่นภาพที่ 5	74
แผ่นภาพที่ 5	75
คำบรรยาย แผ่นภาพที่ 6	76
แผ่นภาพที่ 6	77

บทนำ

ฟอเรมมินิเฟอร่า

ฟอเรมมินิเฟอร่าเป็นสัตว์เล็กๆ โดยทั่วไปมีขนาด 0.1-2.0 มม. ซึ่งจัดอยู่ในไฟลัมโปรตอซัว ในคลาสชาเร็โคไดนา อาศัยอยู่ในน้ำทะเลเป็นส่วนใหญ่ ในน้ำกร่อยมีจำนวนไม่มากนัก และพบว่ามีจำนวนน้อยในน้ำจืด มีรูปร่างแบ่งเป็นห้องๆ บางชนิดมีห้องเดียว บางชนิดมีห้องหลายห้อง เปลือกของมันแข็งประกอบด้วยแคลเซียมคาร์บอเนต ซิลิกา และไคติน บนเปลือกมีรูพุ่นมากมาย ฟอเรมมินิเฟอร่าหรือเรียกสั้นๆ ว่า ฟอเรม เป็นสัตว์ที่กำเนิดในโลกตั้งแต่ยุค Ordovician (แต่บางท่านว่าอาจจะแก่ถึงที่ยุค Cambrian) วิวัฒนาการมาจนถึงปัจจุบัน เนื่องจากมีเปลือกแข็ง ทำให้พบเป็นฟอสซิลได้ ในยุค Ordovician มีจำนวนฟอเรมจำนวนน้อย ต่อมาจนถึงยุคカラ็บอนิเฟอรัสและเบอร์เมียน พบรูปเป็นจำนวนมากโดยเฉพาะที่เรียกว่าฟูรูลินิด (furculinid) ซึ่งมีขนาดใหญ่สามารถมองเห็นได้ด้วยตาเปล่าขนาดของมันน้อยกว่า 1 ซม. จนถึง 2 นิ้ว พบรูปเป็นฟอสซิลจำนวนมากในประเทศไทยที่สำคัญได้แก่ จังหวัดสระบุรี ลพบุรี เพชรบูรณ์ เลย และปราจีนบุรี ลักษณะของฟูรูลินิด มีลักษณะคล้ายเม็ดข้าวสาร ยาวๆ แต่บางชนิดจะมีลักษณะกลม ฟอสซิลของฟูรูลินิดมีประโยชน์อย่างมากในทางธรณีวิทยา เพราะเป็นตัวบอกรากอายุของหินที่ฟอสซิลอาศัยอยู่ได้อย่างมีประสิทธิภาพ อายุของหินมีความสำคัญมากต่อแผนที่ทางธรณีวิทยา ส่วนมากฟอสซิลของฟูรูลินิดมักพบในหินปูน บางครั้งพบในหินดินดาน

ฟอเรมมินิเฟอร่า เริ่มแรกพบว่าจะอาศัยบนผิวดินตะกอนใต้น้ำ (benthonic) จนกระทั่งตอนกลางของยุค侏ราสซิก เริ่มมีฟอเรมฯ ที่ลอดตามผิวน้ำเกิดขึ้น (planktonic) และจะมีมากขึ้นในยุคครีเตเชียส มาจนถึงปัจจุบัน เป็นโภนิคฟอเรมฯ มีประโยชน์ในการบอกรากสภาพแวดล้อมในขณะที่อาศัยอยู่ เช่น ความลึกของน้ำ ความเค็มของน้ำ เป็นต้น สำหรับแพลงโนนิคฟอเรมฯ พบรูปในทะเลเปิดจนถึงทะเลลึก แต่บางแห่งในน้ำลึกเกินกว่า 5,000 เมตร เปลือกของฟอเรมฯ ชนิดนี้ ซึ่งเป็นแคลเซียมคาร์บอเนต จะถูกสลายในขณะที่ร่วงลงสู่เบื้องล่างจากผิวน้ำ แพลงโนนิคฟอเรมฯ มีวิวัฒนาการรวดเร็ว พบรูปเพรนลายทั่วไปและที่ก้นสมุทร ทำให้เป็นประโยชน์มากในการบอกรากตำแหน่งของหินหิน

บุคคลสำคัญในอดีตที่ศึกษาฟอเรมมินิเฟอร่า คือ Alcide d'Orbigny (ค.ศ. 1802-1857) ซึ่งได้รับการยกย่องว่าเป็น Father of micropaleontology ได้ออกเอกสารมาอย่างมากเกี่ยวกับฟอเรมฯ อีกคนหนึ่งที่สำคัญ คือ C.G.Ehrenberg (ค.ศ. 1795-1876) เป็นคณศาสตราจารย์ที่ศึกษาเกี่ยวกับสัตว์ขนาดเล็ก ออกเอกสารเกี่ยวกับฟอเรมมินิเฟอร่า ออกสตราคอด และได้อะตอม เห็นได้ว่ามีการศึกษาฟอเรมมินิเฟอร่ามานานกว่าร้อยปีแล้ว

ปี ค.ศ. 1951 แพลงค์โนนิคฟอเรมฯ ถูกใช้ข้อย่างกว้างขวางในการเปรียบเทียบชั้นหินในทางธรณีวิทยา ในการสำรวจน้ำมัน microfossil ถูกใช้เปรียบเทียบชั้นหินจากหลุมเจาะหนึ่งไปยังอีกหลุมเจาะหนึ่ง เพื่อแปลความหมายทางด้านสิ่งแวดล้อมโบราณ การหาอายุของหินและมีประโยชน์มากในบริเวณที่มีชั้นหินที่มีโครงสร้างวางแผนตัวสับสน ไม่ต่อเนื่อง หรือชั้นหินซ้ำกันมากในแนวตั้ง หรือบริเวณที่เกิดรอยเลื่อน การคดเคี้ยวของหิน ยุ่งยากหรือชั้นหินที่มีความหนามากๆ

microfossil จะบ่งชี้ถึงความเค็มของน้ำ น้ำลึก อุณหภูมิ ออกร่องในน้ำ และลักษณะอื่นๆ ในขณะที่ตะกอนสะสมตัว ซึ่งเป็นประโยชน์ในการวัดถึงการเกิดของน้ำมันและก้าว การวางแผนของแม่น้ำในตะกอน

ป่าชายเลน

ป่าชายเลนหรือป่าโงกโง (mangrove swamps) เป็นป่าที่เกิดขึ้นตามชายฝั่งทะเลและปากแม่น้ำของประเทศไทยตอนใต้ ประเทศไทยมีป่าชายเลนเกิดขึ้นหลายแห่ง เช่น วนอุทยาน พังงา กระบี่ นครศรีธรรมราช และจันทบุรี ดังภาพที่ 1 ป่าชายเลนเกิดจากแม่น้ำไหลลงมาที่มีน้ำซึ้ง เมื่อกระแสน้ำในลำน้ำใหญ่ไหลลงมาปะทะเข้ากับกระแสน้ำทะเล ทำให้กระแสน้ำในบริเวณปากแม่น้ำเบ atol และหยุดนิ่ง คลอนตะกอนและวัดถูกธาตุต่างๆ ซึ่งในแหล่งน้ำจะมีเศษปู กับกระแสน้ำจมตัวลง ทำให้เกิดแผ่นดินคลอนหรือเลนผืนใหญ่ แผ่นดินเลนนี้มีร่องน้ำจาก แม่น้ำลำคลองออกสู่ทะเลมากมาย ป่าชายเลนเกิดขึ้นได้ดีในบริเวณที่เป็นเลนลึก มีการถ่ายเทอากาศดี มีปริมาณอินทรีย์วัตถุมากและมีทรายน้อย จากปากแม่น้ำเข้าไปดินมีความแตกต่างกันเป็นระยะๆ คือ เมื่อลึกเข้าไปในป่ามีส่วนประกอบเป็นทรายมากขึ้นตามลำดับ และคลอนตมและดินเหนียวลดน้อยลง ดังนั้น ปากแม่น้ำจึงเป็นดินเหนียว ส่วนลึกเข้าไปจะเป็นดินร่วน (วันชัย, 2539)

พืชในป่าชายเลนมีการปรับตัวทางด้านสรีระและโครงสร้าง โดยมีรากค้ำจุนช่วยในการพยุงลำต้นไม่ให้ล้มเมื่ออยู่ในบริเวณที่เป็นเลนมาก โครงสร้างของใบที่สามารถเก็บสะสมเอาไว้ได้มากและป้องกันการสูญเสียน้ำออกโดยการหายน้ำ พวงนี้จะมีคิวตินเคลือบหนา ปากใบเนื้อยาง บางชนิดมีขนปุกคลุม ใบมีลักษณะควบแน่น พันธุ์ไม้ในป่าชายเลน ได้แก่ โงกโงใบใหญ่ โงกโงใบเล็ก พังก้าหัวสูม ป่อง ผัด แสม ลำพู ตะปูน ประสา (สมสุข, 2542)

สัตว์ในป่าชายเลน มีทั้งสัตว์บกและสัตว์น้ำ เช่น กุ้ง หอย ปู ปลา นก ลิง ค่าง และแมลงต่างๆ

ชายทะเลด้านอันดามันเกิดจากการรวมตัว เว้าๆ แหงๆ ไม่رابเรียบเหมือนชายทะเลทางฝั่งตะวันออก ฝั่งทะเลเว้าเป็นช่องเข้าไปยังปากแม่น้ำตั้ง อ.กันตัง จ.ตรัง เป็นต้น ระดับน้ำขึ้นและน้ำลงต่างกันเกิน 2 เมตร ตะกอนเป็นดินเลนปนกับกรวด มีสีเทาปนน้ำเงิน มีสารประกอบกำมะถันอยู่มาก เกิดก้าซีไซเน่ได้ง่าย และเป็นกรดจัดมากเมื่อติดแห้ง

ประโยชน์ของป่าชายเลน เป็นแหล่งอาหารรวมชาติของสัตว์น้ำนานาชนิด เป็นแหล่งกำเนิดความหลากหลายทางชีวภาพอันได้แก่ สมุนไพร และพืชพันธุ์ต่างๆ เป็นที่กรองขนาดใหญ่ กรองสิ่งต่างๆ ก่อนออกสู่ทะเล ป้องกันไม่ให้ชายฝั่งทะเลเกิดการพังทลาย ทำให้แผ่นดินออก ป้องกันคลื่นลมให้มีความเร็วลดลงเมื่อปะทะกับชายฝั่ง ปัจจุบัน ป่าชายเลนถูกทำลายลงมาก เคยมีการสำรวจพบว่าป่าชายเลนประมาณ 2.3 ล้านไร่ มีปริมาณลดลงเมื่อ พ.ศ. 2539 เหลือเพียง 1.05 ล้านไร่

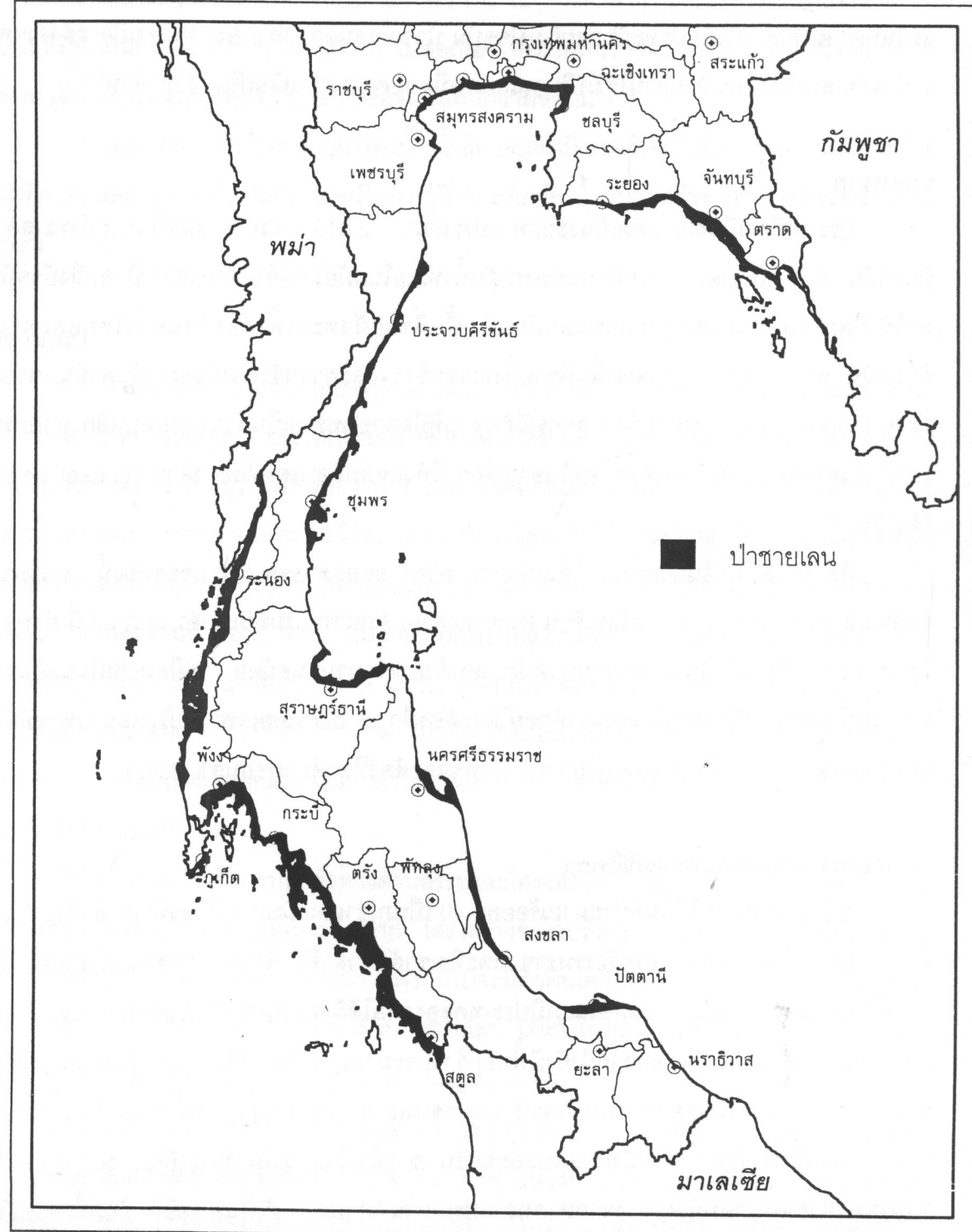
หาดทราย

ประเทศไทยมีฝั่งทะเลคิดเป็นระยะทางประมาณ 2,815 กม. แยกเป็นชายฝั่งทะเลด้านอันดามัน 937 กิโลเมตร การเปลี่ยนแปลงระดับน้ำทะเลในสมัยไฮโลซีน (10,000 ปี จนถึงปัจจุบัน) ทำให้เกิดการสะสมตัวของตะกอนและเกิดเป็นพื้นที่ชายฝั่งทะเลทั้งสองด้านอ่าวไทยและทะเลอันดามัน ทางชายฝั่งอ่าวไทยจะมีพื้นที่ชายฝั่งทะเลกว้าง และยาวกว่าทางฝั่งทะเลอันดามัน ชายฝั่งทราย (Sandy coasts) หมายถึง กลุ่มธรณีสันฐานที่มีตะกอนทรายเป็นส่วนประกอบหลัก หาดทรายทางฝั่งอันดามันจะเกิดเป็นชายหาดอยู่ในอ่าวเด็กๆ มีหัวแหลมล้อมรอบทั้งสองด้าน (pocket beach) (สิน, 2540)

สัตว์ทะเลที่พับในหาดทราย ได้แก่ หอย เพรียง ออสตราคอต หนามของฟองน้ำ หนามของสัตว์ทะเล (echinoid spine) โขลกหรือเรียน (Holothurian) และฟอเรมมินิเฟอร์ร่า นอกจากนี้ ยังพบ ปู และสาหร่าย สิ่งมีชีวิตในบริเวณชายหาดประกอบด้วย จำนวนชนิดน้อย แต่มีสมาชิกในแต่ละชนิดมาก ทั้งนี้ เพราะสิ่งมีชีวิตชนิดใดจะอาศัยอยู่ได้จะต้องมีการปรับตัวโดยเฉพาะ บริเวณชายหาดมีคลื่นชัดอยู่ตลอดเวลา เป็นตัวการสำคัญในการจำกัดพื้นที่และสัตว์ที่อาศัยอยู่ (สมสุข, 2542)

ลักษณะทางกายภาพและธรณีวิทยา

ภูมิประเทศภาคใต้พื้นที่ประมาณร้อยละ 40 เป็นภูเขาและเนินเขา มีแนวทิวเขาสำคัญ 3 แนวคือ แนวเขากูเก็ต แนวเขานครศรีธรรมราช และทิวเข้าสันกาลาคีรี ทั้งสองข้างของแนวเขานี้จะเป็นที่ราบตามชายฝั่งทะเล ลักษณะภูมิประเทศของภาคใต้ผ่านต่อจากกับผ่านต่อตากต่างกันมาก กล่าวคือ ผ่านต่อจากชายฝั่งยังมีพื้นที่กว้างประมาณ 5-35 กิโลเมตร ฝั่งทะเลرابเรียบชายฝั่งด้านหลัง หาดทรายทรายขาว มีแม่น้ำตาปี แม่น้ำชุมพร แม่น้ำปากพนัง แม่น้ำปัตตานี และแม่น้ำโกลก ส่วนผ่านต่อตากต่างกัน ชายฝั่งมักแคบและลึกชัน ชายฝั่งเว้าแหว่งไม่เป็นระเบียบ มีเกาะแก่งเป็นจำนวนมาก หาดทรายมีน้อย ห่างจากหาดทรายประมาณ 60 เมตร ก็เป็นทะเลลึก มีแม่น้ำสายสันฯ น้ำไหลเขี้ยว ยกเว้นแม่น้ำกระบุรีในจังหวัดระนอง (สุธิงค์, 2539)



ภาพที่ 1 การกระจายพื้นที่ป่าชาายเลนในประเทศไทย (วันชัย, 2539)

การเปลี่ยนแปลงของระดับน้ำทะเลในสมัยโอลิซีน ทำให้เกิดการสะสมตัวของตะกอน และเกิดเป็นพื้นที่ชายฝั่งทะเลทั้งสองด้าน คืออ่าวไทย และฝั่งทะเลอันดามัน และการที่ชายฝั่งตะวันออก رابะเรียบสันนิชฐานเนื่องจากการยกตัวสูงขึ้นของแผ่นดินชายฝั่ง และบริเวณชายฝั่งทางด้านอันดามัน ซึ่งไม่เรียบน้ำ สันนิชฐานเนื่องจากการมีตัวลงของชายฝั่งทางด้านทะเลอันดามันมีขอบเขตที่น้ำทะเล เคลยกุลล้ำเข้าไปไกล ที่สุดสมัยโอลิซีนประมาณ 10-12 กิโลเมตร จากแนวชายฝั่งปัจจุบัน ในบริเวณ อำเภอปะเหลียน จ.ตรัง ต่อเขต อ.ทุ่งหว้า จ.สตูล (สิน, 2540)

ชนิดของชายฝั่งทะเล

- ชายฝั่งหิน ชายฝั่งทะเลอันดามันจะพบชายฝั่งหินมากกว่าทางฝั่งอ่าวไทย เป็นชายฝั่งที่เกิด เนื่องจากที่โดยเฉพาะที่มีรอยเลื่อนของหิน ชายฝั่งมีการกัดเซาะมากกว่าการสะสมตัว
- ชายฝั่งทราย หมายถึงบริเวณที่มีตะกอนทรายเป็นหลัก เช่น หาดทรายทางฝั่งอันดามัน พบรเกิดอยู่ในอ่าวเล็กๆ มีหัวแหลมล้อมรอบทั้งสองด้าน (pocket beach)
- ชายฝั่งในที่ลุ่มต่ำ เป็นพื้นที่ชายฝั่งระดับต่ำ มีที่กำบัง สภาพแวดล้อมค่อนข้างสงบนิ่ง มี ทางน้ำต่อเนื่องกันมากนัย ได้แก่ ที่ราบน้ำขึ้นถึง (tidal flat) พรุ หรือมาบ (marshes) และหนอง (swamps) พื้นที่ชายทะเลเหล่านี้เป็นแหล่งอาหารทะเลที่สำคัญ ที่ราบน้ำขึ้นถึง พบรเก็บได้ทั้งสอง ฝั่งของประเทศไทย มีพันธุ์ไม้ป่าชายเลนขึ้นปกคลุม ซึ่งพบมากทางชายฝั่งทะเลอันดามันมากกว่า อ่าวไทย (สิน, 2540)

สภาพภูมิอากาศ

โดยทั่วไปอยู่ภายใต้อิทธิพลของมรสุม แบ่งออกเป็น 2 เขต คือ

- ภาคใต้ฝั่งตะวันออก ได้แก่ จังหวัดชุมพร สุราษฎร์ธานี นครศรีธรรมราช พังงา ยะลา ปัตตานี และนราธิวาส เป็นเขตที่ได้รับอิทธิพลจากมรสุมตะวันออกเฉียงเหนือ ตั้งแต่ประมาณเดือน ตุลาคม เป็นเดือนกุมภาพันธ์ และได้รับอิทธิพลจากมรสุมตะวันตกเฉียงใต้ ตั้งแต่เดือนพฤษภาคม ถึงเดือนกันยายน เนื่องจากมีเทือกเขาขวางกั้นในช่วงนี้จึงมีฝนตกเบาบาง อุณหภูมิเขตฝั่งตะวันออก ค่อนข้างคงที่ มีความชื้นสูง ฝนตกหนักที่สุดในเดือนพฤษภาคมถึงเดือนธันวาคม ปริมาณน้ำฝนเฉลี่ย ทั้งปีประมาณ 1,834.4 มิลลิเมตร

- ภาคใต้ฝั่งตะวันตก ได้แก่ บริเวณจังหวัดระนอง ตรัง กระบี่ พังงา ภูเก็ต และสตูล ได้รับ อิทธิพลของมรสุมตะวันตกเฉียงใต้เต็มที่ จึงมีฝนตกมากตั้งแต่เดือนพฤษภาคมถึงเดือนตุลาคม ซึ่งจะ มีฝนตกประมาณ 17-27 วันต่อเดือน เดือนที่ฝนตกมากที่สุดคือเดือนกันยายน ปริมาณน้ำฝนเฉลี่ยทั้งปี ของภาคใต้ฝั่งตะวันตกประมาณ 3,026.5 มิลลิเมตร ช่วงฝนตกน้อยที่สุดคือเดือนธันวาคมถึงเดือน มีนาคม

ภาคใต้โดยทั่วไป 2 ฤดู คือ ร้อน (แล้ง) และฤดูฝน ปริมาณน้ำฝนเฉลี่ยปีละ 4,343 มิลลิเมตร จังหวัดที่ฝนตกมากที่สุดคือจังหวัดระนอง ความชื้นสัมพัทธ์โดยเฉลี่ยทั้งหมดประมาณร้อยละ 80 อุณหภูมิมีค่าเฉลี่ยประมาณ 27.2 องศาเซลเซียส

ธรณีวิทยา

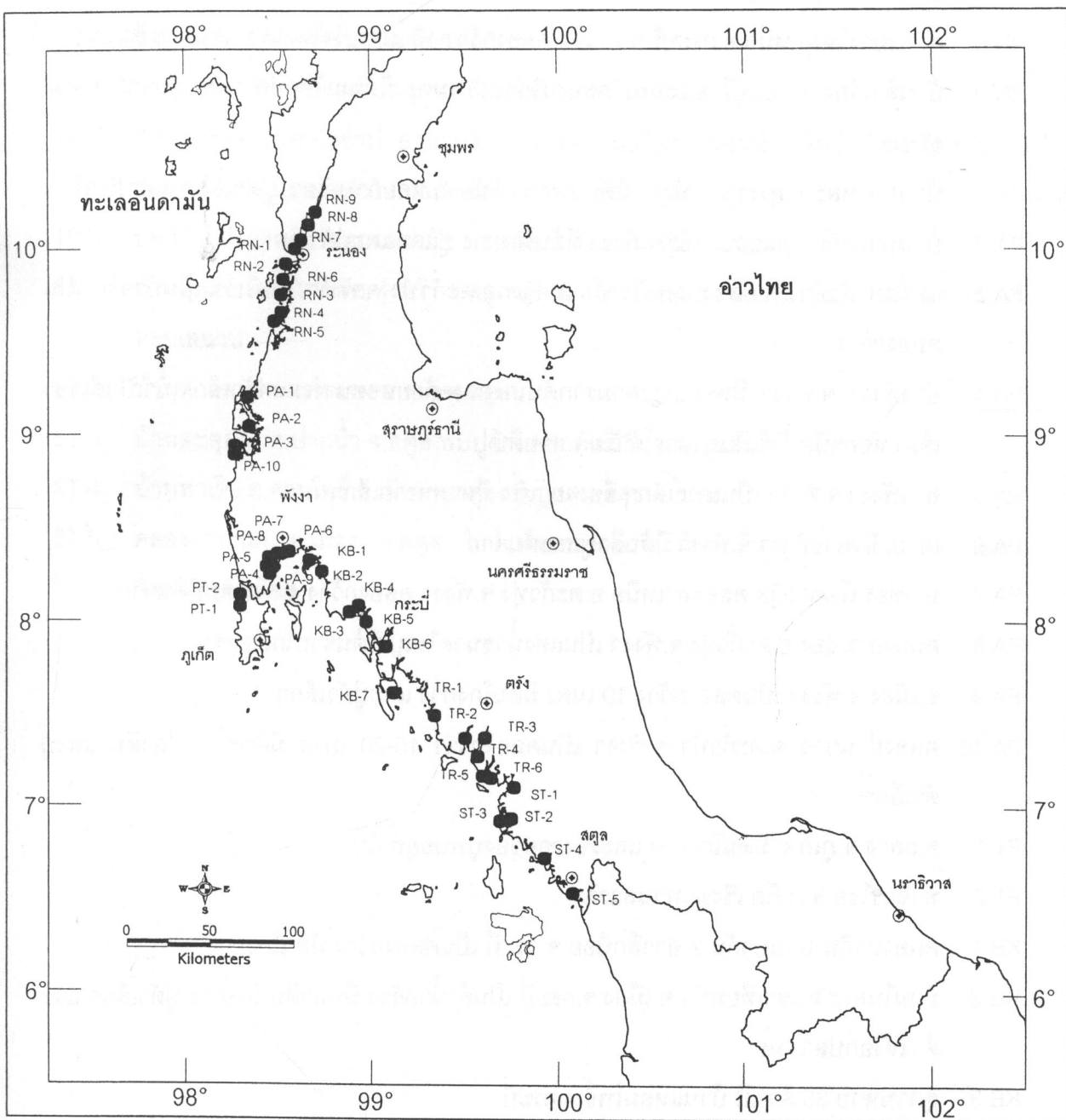
ธรณีวิทยาโดยทั่วไปของภาคใต้ประกอบด้วยหินซึ่งหรือหินตะกอนของหินหลาຍอยู่ เช่น หินปูนชุดทุ่งสง ซึ่งมีอายุอิหริยากรีบีเย็นที่นครศรีธรรมราช พบร่วมกับหินตะกอนของหินหลาຍอยู่ เช่น หินกลุ่มหินแก่งกระ Jian ที่มีอายุคร่าวันนี้เพื่อรัส ประกอบด้วย หินทราย และหินดินดาน หินในมหาดูค มีโครงสร้างตัวอยู่ในแนวเนื้อ-ใต้ ซึ่งประกอบด้วยหินดินดาน หินทราย หินกรวดมีหิน มีหินตะกอนของ สัตว์และพืชปะปนอยู่ด้วย เช่น ที่จังหวัดชุมพร สงขลา ตรัง เป็นต้น หินตะกอนยุคเทอร์เรียรีพับที่ จังหวัดยะลา มีหินตะกอนของพืชและสัตว์จำนวนมาก หินอ่อนนี้และหินแกรนิตก็พบในภาคใต้ เช่นกัน หินแกรนิตอายุคร่าวันนี้เพื่อรัสจะพบทางเหนือของจังหวัดระนอง และหินแกรนิตในมหาดูค มีโครงสร้าง ตามร่องทางด้านตะวันตก โครงสร้างทางธรณีวิทยาที่เด่นชัดทางภาคใต้ คือแนวรอยเดือนไหว้ “คลองมะรุ่ย” จะวางตัวจากจังหวัดยะลาไปยังสุราษฎร์ธานี

วิธีดำเนินงาน

พื้นที่ศึกษาเริ่มจากจังหวัดระนอง พังงา ภูเก็ต ระเบียง ตรัง และสตูล (ภาพที่ 2) อายุระหว่าง เส้นรุ้งที่ 9° ถึง 6° เหนือ กับเส้นแรงที่ 98° ถึง 100° ตะวันออก ดังตารางที่ 1 และสามารถแบ่งออก เป็น 2 บริเวณ คือบริเวณแรก ได้แก่ จังหวัดระนอง - พังงา - ภูเก็ต บริเวณที่สอง ได้แก่ จังหวัด ยะลา - ตรัง - สตูล เนื่องจากห้องสมุดบริเวณไม่เป็นแนวเดียวกันทางภูมิศาสตร์

การเก็บตัวอย่างดินตะกอน จำนวน 39 แหล่ง มีดังต่อไปนี้

- RN 1 อ.เมือง จ.ระนอง ในบริเวณมีต้นโคงกาง มีปูก้ามดาบ ปลาตีน
- RN 2 อุทยานแห่งชาติเกาะพยาม (ท่าเที่ยบเรือประมง โครงการพัฒนาประมงชายฝั่งพื้นบ้าน) วี หอยเชลล์ ปลาตีน ปูก้ามดาบ
- RN 3 ต.ราชกู้ด จ.ระนอง ใกล้กับบ่อเลี้ยงกุ้ง ในบริเวณมีต้นลำพู
- RN 4 อ.กะเปอร์ (คลองกะเปอร์) จ.ระนอง เป็นคลองกว้างมีต้นจาก
- RN 5 อ่าวหัวยิ้ว อ.กะเปอร์ จ.ระนอง เป็นป่าโคงกาง
- RN 6 คลองวังหิน บ้านบางหิน อ.กะเปอร์ จ.ระนอง

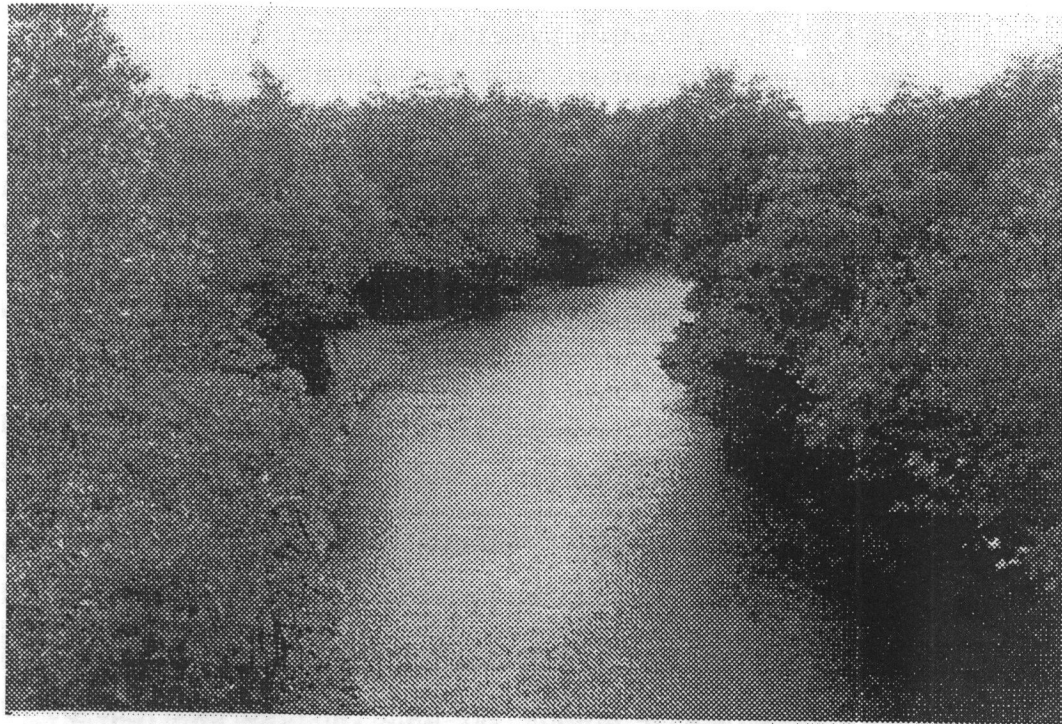


ภาพที่ 2 แผนที่แสดงการเก็บตัวอย่างดินตะกอนตามแนวชายฝั่งท่าเลือนdam

- RN 7 คลองลະอุ่น บ้านเข้าฝาชี อ.ลະอุ่น ต.บางแก้ว จ.ระนอง เป็นคลองใหญ่กว้าง 150 เมตร มีปลาดีน ผึ้งตรงข้ามเป็นป่าโงกengo เป็นแนวwaysตามลำน้ำ
- RN 8 คลองบางใหญ่เหนือ อ.กระบูรี จ.ระนอง คลองกว้าง 10 เมตร น้ำไหลแรง มีต้นจาก ต้นปรง
- RN 9 บ้านลำเลียง อ.กระบูรี จ.ระนอง คลองกว้าง 20 เมตร มีต้นเหงือกปลาหมอ ต้นจาก อุยในชุมชน
- PA 1 บ้านบางหละ อ.คุระบุรี จ.พังงา มีต้นโงกengo ต้นจาก หอยกานเดี่ยว ปูตัวเล็กๆ และปลาดีน
- PA 2 บ้านบางครัว 2 คลองบางปู อ.พังงา มีต้นโงกengo ปูแสมและปูตัวเล็กๆ
- PA 3 แม่น้ำตะกัวป่าหรือคลองย่านยา บ้านท่าจุด อ.ตะกัวป่า จ.พังงา ในบริเวณเป็นป่าจาก เป็นคลองกว้าง
- PA 4 อ่าวพังงา จ.พังงา มีหอยเกะตามรากต้นโงกengo คล้ายหอยนางรมแต่ตัวเล็ก (น้ำเป็นสีเขียวเข้ม) หอยชนิดนี้ใช้เป็นอาหารได้ เรียก หอยดีบ
- PA 5 อ่าวพังงา จ.พังงา เป็นเกะเล็กๆ ชื่อรายหาริ่ง มีหาดทรายเล็กๆ
- PA 6 เข้าแพด อ่าวพังงา จ.พังงา มีต้นลำพูและต้นจาก
- PA 7 ท่าเที่ยบเรือสุรากุล คลองท่าเหนือ อ.ตะกัวทุ่ง จ.พังงา คลองกว้าง 4-5 เมตร มีต้นจาก
- PA 8 คลองสามช่อง อ.ตะกัวทุ่ง จ.พังงา เป็นแหล่งน้ำขนาดใหญ่ มีต้นจากใกล้ชุมชน
- PA 9 อ.เมือง จ.พังงา เป็นคลองกว้าง 10 เมตร มีต้นโงกengo และปูตัวเล็กๆ
- PA 10 คลองย่านยา อ.ตะกัวป่า จ.พังงา เป็นคลองกว้าง 15-20 เมตร มีต้นจาก ปลาดีน และปูตัวเล็กๆ
- PT 1 อ.ถลาง จ.ภูเก็ต มีต้นโงกengo และร่องรอยของปูพับอยู่ทั่วไป
- PT 2 ท่าฉัตรไชย จ.ภูเก็ต เชิงสะพานสารสิน
- KB 1 คลองปากัน บ้านปากัน ต.อ่าวลึกน้อย จ.กระบี่ เป็นคลองกว้าง มีต้นโงกengo
- KB 2 บ้านในสระ ต.เข้าเทียมป่า อ.เมือง จ.กระบี่ เป็นลำน้ำกว้าง มีปลาดีน โงกengo และต้นเหงือกปลาหมอ
- KB 3 ศูนย์หอย 35 ล้านปี บ้านแหลมโพธิ์ จ.กระบี่
- KB 4 ปากน้ำกระบี่ อ.เมือง จ.กระบี่
- KB 5 ทางเข้าโรงไฟฟ้า อ.เนื้อคลอง จ.กระบี่ มีต้นโงกengo และสำเภาเล็กๆ
- KB 6 อ.คลองท่อม จ.กระบี่
- KB 7 บ้านบ่อเมือง อ.คลองท่อม จ.กระบี่
- TR 1 หาดปากเมง อ.สีแกะ จ.ตรัง มีต้นลำพู ผักบุ้งทะเล เปลือกหอยจีบแจงตัวใหญ่ ขนาด 2-3 นิ้ว ชนิด *Turritella*?

- TR 2 ใกล้ท่าเรือกันตัง อ.กันตัง จ.ตรัง มีต้นลำพู ปูตัวเล็กๆ และปลาตีน
- TR 3 คลองประเวณ บ้านท่าบันได ต.ทุ่งกระเบื้อง อ.ย่านตาขาว จ.ตรัง มีปูก้ามดาบ ตันโคงกาง ลำพู เหงือกปลาหมอก และเปลือกหอย
- TR 4 บ้านทุ่งยา กิ่ง อ.หาดสำราญ จ.ตรัง มีต้นโคงกางในบริเวณ
- TR 5 บ้านหยงสตาร์ ต.ท่าข้าม อ.ประเวณ จ.ตรัง ในบริเวณชุมชนน้ำสีเขียว มีการเลี้ยงปลาในกระชัง และมีปูเสบวนตัวใหญ่และเด็ก
- TR 6 บ่อคุ้ง ต.ท่าข้าม บ้านหยงสตาร์ อ.ประเวณ จ.ตรัง น้ำสีเขียวในบ่อคุ้ง
- ST 1 บ้านทุ่งหว้า ต.ทุ่งหว้า อ.ทุ่งหว้า จ.สตูล เป็นท่าเรือ เป็นชุมชน มีการเลี้ยงปลาในกระชัง และมีหอยเสบวน
- ST 2 บ้านท่าแหลม ต.กำแพง อ.ละงู จ.สตูล
- ST 3 บ้านตะลุกไส ต.ปากน้ำ จ.สตูล พบปูก้ามดาบตัวเล็กๆ และปูแสม
- ST 4 บ้านท่าเรือ ต.ควนโพธิ์ อ.เมือง จ.สตูล พบปูแสม และปลาตีน
- ST 5 คลองเกาเนก อ.เมือง จ.สตูล ใกล้แม่น้ำบ้าน มีการเลี้ยงปูดำ พบปลาตีน และปู ก้ามดาบตัวเล็กๆ

ตัวอย่างของสภาพภูมิประเทศที่เก็บดินตะกอนดังแสดงในรูปที่ 3, 4



ภาพที่ 3 KB6 อำเภอคลองท่อม จังหวัดกรุงปี



ภาพที่ 4 TR1 หาดปากแมง อำเภอสีເກາ จังหวัดຕຽງ

ตารางที่ 1 แสดงตำแหน่งที่แน่นอนของการเก็บตัวอย่างดินตะกอน

station	Latitude N	Longitude E	Station	Latitude N	Longitude E
RN1	09°57'4384	98°37'0680	PT2	08°11'5116	98°17'5953
RN2	09°50'0311	98°35'0460	KB1	08°18'2427	98°43'1349
RN3	09°43'4608	98°34'2876	KB2	08°08'5357	98°47'0411
RN4	09°34'2337	98°35'2566	KB3	08°01'1239	98°53'1630
RN5	09°30'5237	98°31'4446	KB4	08°03'0399	98°53'2125
RN6	09°32'2449	98°34'4257	KB5	07°58'1679	98°59'3252
RN7	10°10'3355	98°42'5724	KB6	07°53'4432	99°06'1801
RN8	10°17'2191	98°45'3911	KB7	07°40'3756	99°13'0435
RN9	10°19'0400	98°19'0400	TR1	07°28'0382	99°20'2036
PA1	09°11'5032	98°23'1424	TR2	07°21'1042	99°30'4189
PA2	09°01'3444	98°24'5247	TR3	07°21'0985	99°38'1097
PA3	08°53'2087	98°21'2314	TR4	07°15'5171	99°37'0301
PA4	08°20'3627	98°30'0962	TR5	07°07'4411	99°41'3546
PA5	08°17'2112	98°30'1356	TR6	07°07'5854	99°41'1721
PA6	08°22'4406	98°31'0338	ST1	07°06'1742	99°45'0592
PA7	08°23'1515	98°27'4564	ST2	06°55'1482	99°45'0929
PA8	08°18'5040	98°25'2590	ST3	06°55'1482	99°44'5008
PA9	08°25'0095	98°33'2903	ST4	06°45'0828	99°59'3499
PA10	08°53'2023	98°21'2395	ST5	06°34'4377	10°03'5183
PT1	08°09'1896	98°20'3605			

วัตถุประสงค์

- เพื่อศึกษาความหลากหลายและปริมาณของฟอเรมมินิเฟอร่าในสู่กับจดับน้ำที่พบในดินตะกอน บริเวณภาครีดีของประเทศไทยทางฝั่งทะเลอันดามัน ได้แก่ จังหวัดระนอง พังงา ภูเก็ต กระบี่ ตรัง และสตูล
- เพื่อการศึกษาเปรียบเทียบความสมมัติของฟอเรมมินิเฟอร่าบริเวณอ่าวไทยและทะเลอันดามัน โดยเทียบกับข้อมูลของ Jummongthai, 2000

ขั้นตอนและวิธีการดำเนินงาน

ระยะเวลาโครงการตั้งแต่เมษายน 2542 – กุมภาพันธ์ 2544

- เก็บตัวอย่างดินตะกอนครั้งแรกเมื่อเดือนเมษายน 2542 และครั้งที่สองเมื่อเดือนพฤษภาคม 2543 จาก 39 แหล่ง ตามแนวชายฝั่งทะเลอันดามัน โดยเก็บตัวอย่างดินตะกอนจากแหล่งน้ำกร่อย บริเวณป่าชายเลนและบริเวณชายหาด ปริมาณของดินตะกอนประมาณ 1 กิโลกรัม ต่อ 1 แหล่ง
- ในภาคสนามบันทึกความคืบ pH อุณหภูมิ ความลึกของน้ำ เวลา และจุดตำแหน่งที่แน่นอนโดยเครื่อง Magellan – NAV 5000 PRO (GPS)
- เตรียมตัวอย่างในห้องปฏิบัติการ โดยใช้ตะแกรงขนาด 200 mesh ร่อนคลอนออกให้หมด โดยใช้ wet seive และทำให้แห้งในห้องปฏิบัติการ บางครั้งถ้าดินตะกอนจับตัวแข็งมาก ต้องใช้ไฮโดรเจนเปอร์ออกไซด์ 10% จำนวนเล็กน้อยเติมลงไปในภาชนะซึ่งมีดินตะกอนและน้ำ เพื่อช่วยให้มีการแตกตัวได้รวดเร็ว
- ดินตะกอนบางส่วนถูกแบ่งเพื่อทำการวิเคราะห์ทางเคมี เช่น Total sulfide และฟอสฟेट
- คัดเลือกฟอเรมมินิเฟอร่าจากกล้องจุลทรรศน์ในแต่ละตัวอย่าง ฟอเรมมินิเฟอร่าที่น่าสนใจจะถูกบันทึกภาพด้วยเครื่อง SEM เพื่อศึกษาโครงสร้างที่ละเอียด นับจำนวนฟอเรมมินิเฟอร่าและจำแนกชนิด
- ตัวอย่างฟอเรมมินิเฟอร่าถูกเก็บรักษาไว้ที่กองธนูวิทยา กรมทรัพยากรธรรมชาติ

ผลการศึกษา

การศึกษาฟอเรมมินิเฟอร่าในสู่กับจดับน้ำที่ได้จากการเก็บตัวอย่างจากภาคใต้ทางด้านทะเลอันดามัน เริ่มจากจังหวัดระนอง พังงา ภูเก็ต กระบี่ ตรัง และสตูล จำนวน 39 แหล่ง แต่พบว่ามีฟอเรมมินิเฟอร่า 34 แหล่ง สามารถจำแนกได้ 31 วงศ์ 53 สกุล และ 92 ชนิด เป็นลักษณะคือ ประกอบด้วยซิลิกาหรือเรียกว่า arenaceous มี 44 ชนิด และเปลือกที่ประกอบด้วยแคลเซียมคาร์บอเนตหรือเรียกว่า calcareous มี 48 ชนิด เกือบทั้งหมดเป็นสัตว์เล็กๆ อาศัยบนดินตะกอนใต้น้ำ (benthonic) แต่ในบางพื้นที่ซึ่งติดต่อกับทะเลเปิด จะมีพวกที่

ลอยตามผิวน้ำ (planktonic) ประปนบ้างเล็กน้อย ตัวอย่าง PT2 ท่าฉัตรไชย จ.ภูเก็ต เป็นบริเวณเดียวที่พบ planktonic คือ *Globigerina rubescens* และ *Orbulina universa* ทั้งสองชนิดมีเปลือกเป็น calcareous ขนาดเล็กและมีเพียงชนิดละ 1 ตัว เท่านั้น

รายละเอียดของการบันทึกข้อมูลในส่วน เช่น ค่า pH ค่าความเค็มของน้ำ ความลึกและ อุณหภูมิ แสดงในตารางที่ 2

ตารางที่ 2 แสดงความเค็มของน้ำ pH ความลึก เวลา และอุณหภูมิ บริเวณที่เก็บตัวอย่างดินตะกอน

Staton	Sampling date	Time	ph	Salinity (ppt)	Depth (cm)	Temp.(C)
RN1	26 Mar 99	11:45	7.0	1.5	32	31
RN2	26 Mar 99	13:30	6.9	3.2	22	33
RN3	26 Mar 99	14:30	7.9	2.0	28	31
RN4	26 Mar 99	15:30	7.2	0.4	150	28
RN5	26 Mar 99	15:50	7.5	3.4	53	32
PA1	27 Mar 99	14:00	7.3	2.8	13	37
PA2	27 Mar 99	14:55	6.8	2.0	18	31
PA3	27 Mar 99	15:40	6.9	1.0	13	31
PA4	27 Mar 99	9:00	7.6	3.2	23	29
PA5	27 Mar 99	9:35	8.0	4.0	13	31
PA6	27 Mar 99	11:10	7.4	2.5	24	30
PT1	28 Mar 99	15:00	7.0	4.0	14	32
PT2	28 Mar 99	15:25	8.1	4.0	13	31
KB1	29 Mar 99	13:30	7.8	3.5	12	33
KB2	29 Mar 99	14:15	7.8	1.0	30	32
KB3	29 Mar 99	14:55	8.1	4.0	13	33
KB4	29 Mar 99	15:25	7.8	3.5	15	31
KB5	29 Mar 99	16:20	7.0	3.8	15	29
KB6	29 Mar 99	18:00	7.1	2.4	15	27
KB7	30 Mar 99	11:00	8.0	4.0	9	30
TR1	30 Mar 99	11:55	8.1	3.5	5	32
TR2	30 Mar 99	13:45	7.4	1.0	5	33
TR3	30 Mar 99	14:50	7.5	0.2	8	31
TR4	30 Mar 99	15:25	7.6	1.0	38	33
TR5	31 Mar 99	11:20	8.0	3.5	12	31
TR6	31 Mar 99	11:35	7.9	3.4	19	34
ST1	31 Mar 99	12:45	8.5	4.0	13	31
ST2	31 Mar 99	13:40	8.2	4.0	100	33
ST3	31 Mar 99	14:20	8.2	2.4	12	34
ST4	31 Mar 99	15:05	7.6	2.0	13	31
ST5	31 Mar 99	15:55	7.6	1.0	35	30
PA7	11 May 2000	8:50	7.3	2.8	50	28
PA8	11 May 2000	9:20	7.5	3.5	105	29
PA9	11 May 2000	10:20	7.5	3.0	80	28
PA10	11 May 2000	12:50	7.0	0.5	65	27
RN6	11 May 2000	14:30	7.0	0.5	80	26
RN7	12 May 2000	11:20	7.5	2.0	45	25
RN8	12 May 2000	13:15	6.5	0.8	25	24
RN9	12 May 2000	13:45	6.5	0.5	40	23

อนุกรมวิธาน

จำดับ Foraminiferida Eichwald, 1830

ชนิดเปลือกเป็นชิลิกา

วงศ์ Lituolidae de Blainville, 1827 ช่วงอายุ Carboniferous-Recent

Ammoastuta inepta (Cushman and Mc Culloch)

ແຜ່ນພາພີ້ 2 ຖຸປີ້ 2

ຮູບວ່າງຍາວຣີ ແຕ່ປລາຍຂ້າງໜຶ່ງຄອນຂ້າງແຫລມ ແບນ ມີເສັ້ນໂດັ່ງແບ່ງເປັນຫ້ອງໆ ຂະດເລັກຄື່ງໃໝ່
ມີຮູບເປີດ 2 ແທ່ງ ແທ່ງແຮກອູ່ຕຽກລາງຂອງສັນ (ຂວາມຝົກ) ແຕ່ມອງໄມ້ຫັດ ຮູບເປີດທີ່ສອງ ມີຫລາຍຫ່ອງ ອູ່ທີ່ປລາຍ
ດ້ານລ່າງເຊິ່ງແຫລມເහັນໄດ້ຫັດເຈັນຈາກຮູບ ເປັນພົມມື້ອາຍໃນຊ່ວງ Eocene ຫຼື Recent.

ໃນກາຮືກຂານີ້ພບ 10 ແທ່ງ ແຕ່ຈຳນວນນ້ອຍມາກໃນປ້າຫາຍເລນ ໃນຕ່າງປະເທດພບທີ່
Mississippi delta ຂອງແຄນາດາ ພບເປັນຈຳນວນນ້ອຍ (Scott et al, 1991)

Ammobaculites agglutinans (d'Orbigny)

ແຜ່ນພາພີ້ 2 ຖຸປີ້ 5

ຮູບວ່າງເຮີມຈາກຕອນລ່າງຂີດເປັນວັງ ຕ້ອມາຈະເຈົ້າຢູ່ໃໝ່ໃນແນວຕະກ ເປັນພົມມື້ອາຍ
ຫຍາບ ມີຮູບເປີດທີ່ປລາຍດ້ານບນ ປາດຕັດຂວາງຂອງ chamber ກລມ

ພບ 7 ແທ່ງ ໃນປ້າຫາຍເລນຂອງໄທຢ ໃນຕ່າງປະເທດພບທີ່ North Atlantic ຄວາມລືກ 1134 ເມຕຣ
ແລະ 4950 ເມຕຣ (Barker, 1960)

Ammobaculites americanus Cushman

ຮູບວ່າງຄລ້າຍ *A.agglutinans* ແຕ່ຕ່າງກັນທີ *A.amERICANUS* ຂີດເປັນວັງໃໝ່ ແບນ ເຮັນຫັດເຈັນ
ແລະມີກາຮືກຈົ້າຢູ່ໃນແນວຕະກເພີ່ມ 2-3 chamber.

ພບທີ່ KB1 ແທ່ງເຕີຍວ ແລະຈຳນວນນ້ອຍມາກ ໃນຕ່າງປະເທດພບທີ່ South Atlantic ຄວາມລືກ
3420 ເມຕຣ (Barker, 1960)

Ammobaculites calcareus (Brady)

ลักษณะคล้าย *Ammobaculites* ทั่วไป แต่เม็ดทรายที่ประกอบกันเป็นเปลือกหยานมาก ภาคตัดขวางค่อนข้างแบน

พบที่ PA 1 เพียงแห่งเดียวในบริมานน้อยมาก ในต่างประเทศพบที่ West Indies ความลึก 700 เมตร และที่ Pacific ความลึก 280 เมตร (Barker, 1960)

Ammobaculites exiguus Cushman and Brönnimann

รูปร่างคล้ายกับ *Ammobaculites* โดยทั่วไป แต่มีความแตกต่างบ้างคือ ขดงตอนล่างเล็กไม่เด่นชัด เมื่อเทียบกับส่วนที่เจริญขึ้นไปในแนวตั้งตรง chamber ส่วนนี้จะเพิ่มขนาดใหญ่ยิ่งขึ้น ภาคตัดขวางของ chamber ในแนวตั้งกลม

พบ 6 แห่งในป่าชายเลน มีจำนวนน้อย และในต่างประเทศใกล้บ้านเราพบที่ Suddagedda River estuary ของอินเดีย ความลึกของน้ำไม่เกิน 2 เมตร (Rao et al, 1974) และที่ญี่ปุ่นพบที่ความลึก 0.4 เมตร และ 1.3 เมตร ในบริเวณ Matsushima Bay (Matoba, 1970)

Ammotium cassis (Parker)

รูปร่างค่อนข้างยาว แบน ปลายค่อนข้างของดองเล็กน้อย chamber ต่อกมาเพิ่มขนาดใหญ่ขึ้น เส้นแบ่ง chamber อยู่ในแนวเอียง สามารถเห็นได้ชัดเจน เปล็อกเป็นชิลิกาหยานๆ chamber สุดท้ายใหญ่ที่สุดและพองออกเมื่อมองด้านข้าง

พบในป่าชายเลน 7 แห่ง เป็นจำนวนน้อย ในที่อื่นของประเทศไทยพบฟอเรมมินิเฟอร์ชันนิดนึง ในคลองเล็กๆ ที่จังหวัดประจวบคีรีขันธ์ ในต่างประเทศพบที่ปากแม่น้ำ St.Lawrence ที่แคนาดา ความลึกที่ 29 เมตร (Barker, 1960)

Ammotium fragile Warren

แผ่นภาพที่ 2 รูปที่ 4

รูปร่างคล้ายกับ *A.cassis* แต่จะยาวและมีขนาดเล็กกว่า ไม่เทอะทะเหมือน *A.cassis* ลักษณะแบบ พบในป่าชายเลน 10 แห่ง จำนวนน้อย ในต่างประเทศพบที่ New Zealand พบอยู่ในป่าชายเลน โดยทั่วไปไม่ค่อยพบเห็นบ่อยนัก (Hayward et al, 1994)

Ammotium salsum (Cushman and Brönnimann)

รูปร่างโดยทั่วไปคล้าย *A.cassis* แต่ชุดเป็นวง ด้านล่างใหญ่กว่า เส้นแบ่ง chamber ไม่ชัด เช่น เปลือกเป็นชิลิกาหยาบๆ จำนวน chamber ในแนวตั้งน้อยกว่า *A.cassis*

พบที่ ST4 แห่งเดียวกันในป่าชายเลน มีจำนวนน้อยมาก แต่ในต่างประเทศพบบ่อยๆ เช่นที่ แคนาดา อินเดีย (Suddagedda River estuary) และอัฟริกาตะวันตก โดยเฉพาะแหล่งสุดท้ายนี้มีรายงานว่า *A.salsum* สามารถอยู่ในน้ำที่มีความเค็มมากกว่า 100 ppt มีจำนวนมากกว่า 1000 ตัว ต่อลูกบาศก์เซ็นติเมตร (Debenay, 1990)

Ammomarginulina sp.

รูปร่างเริ่มแรกชุดเป็นวง ต่อมาเจริญขึ้นในแนวตั้ง มองด้านข้างจะแบบมาก เส้นแบ่ง chamber ค่อนข้างเอียง เปลือกเป็นชิลิกา ฐานเปิดที่ chamber สุดท้ายอยู่ที่ขอบไม่อุ้ตแรงกลาง

Ammomarginulina แตกต่างจาก *Ammobaculites* คือชนิดแรกแบบมาก เส้นแบ่ง chamber เอียง ฐานเปิดที่ chamber สุดท้ายไม่อุ้ตแรงกลาง ชนิดหลังมีขนาดใหญ่และ chamber มีลักษณะกลมๆ เปิดอยู่ตรงกลาง

พบ 2 แห่งคือ RN9 และ PA9 เป็นจำนวนน้อย ในที่อื่นๆ สกุลนี้ไม่แพร่หลาย

Haplophragmoides wilberti Andersen

แผ่นภาพที่ 2 รูปที่ 1

รูปร่างทั่วไปจะชุดเป็น แบ่งเป็น 7-8 chamber สุดท้ายใหญ่ที่สุด มีฐานเปิดที่สันขอบด้านข้าง ของ chamber สุดท้าย เปลือกเป็นชิลิกาละเอียด เมื่อมองจากด้านหน้าและด้านหลังมีลักษณะเป็นวง ขาดอย่างเดียวgan

พบในป่าชายเลนถึง 26 แห่งในบริเวณที่ศึกษา โดยเฉพาะที่ ST1 มีมากกว่า 100 ตัว ในдин ตะกอน 10 ml. ในต่างประเทศพบแพร่หลายมากเช่นกัน เช่นที่ Mississippi delta ของแคนาดา (Scott et al, 1991) และบริเวณ estuary ของนิวซีแลนด์ (Hayward et al, 1994)

Haplophragmoides cf. H. bomplandi Todd and Brönnimann

รูปร่างชุดวงแบ่งเป็น 6 chamber เปลือกเป็นชิลิกาเนื้อละเอียด ขอบรอบนอกของฟอเรม โค้งในแต่ละ chamber และ chamber ที่ 4-6 เห็นได้ชัดเจนมีขนาดใกล้เคียงกันแต่ chamber สุดท้าย

ใหญ่ที่สุด ชนิดนี้ต่างจาก *H.bomplandi* ซึ่งมี 7 chamber และ chamber ที่ 4-7 จะมีขนาดใกล้เคียงกัน ชนิดนี้ต่างจาก *H.wilberti* คือ *H.wilberti* มี 7-8 chamber ขอบผิวนอกเรียบไม่โค้งตาม chamber ใน การศึกษาในพับเพียง 1 แห่ง คือ PA9 เป็นชนิดที่หายาก ในต่างประเทศพับ *H.bomplandi* ที่ Miramichi River estuary (Scott et al, 1977) และ Nova Scotia ที่แคนาดา (Scott et al, 1980).

Lituola sp.

แผ่นภาพที่ 3 รูปที่ 7

รูปร่างขดเป็นวงเริมแรก แล้วเจริญขึ้นทางแนวตั้ง เปลือกเป็นซิลิกา ลักษณะคล้ายกับ *Ammobaculites* แต่มีความแตกต่าง คือ *Ammobaculites* จะมีรูเปิดที่ปลาย 1 ช่อง แต่ *Lituola* มีรูเปิดหลายช่อง เมื่อเจริญวัยขึ้นมีการเจริญทางแนวตั้ง

พบในป่าชายเลน 13 แห่ง เป็นจำนวนน้อย ในทางด้านอ่าวไทยพับบ้างที่ จ.สุราษฎร์ธานี

วงศ์ Trochamminidae Schwager, 1877 ช่วงอายุ Carboniferous-Recent
Trochammina advena Cushman

ลักษณะเป็น trochospiral ซึ่งการขดตัวด้านหลังและด้านหน้าจะไม่เหมือนกัน ด้านหน้าประกอบด้วย 4 chamber โดย chamber สุดท้ายจะใหญ่ที่สุด ส่วนด้านหลังจะเหลืองขดเป็นวง เปลือกเป็นซิลิกา เนื้อค่อนข้างหยาบ

พบในป่าชายเลน 3 แห่ง จำนวนมากพอสมควร แต่โดยทั่วไปชนิดนี้ไม่ค่อยพบแพร่หลาย พบที่อินเดีย ที่ Suddagedda River estuary และที่ Newfoundland พบที่ความลึก 600 ถึง 3000 เมตร (Cole, 1981).

Trochammina inflata (Montagu)

แผ่นภาพที่ 1 รูปที่ 4

ลักษณะคล้าย *Trochammina* ที่ไป แต่ด้านหน้าประกอบด้วย 5-6 chamber รูเปิดเห็นได้จากด้านข้าง เปลือกเป็นซิลิกา ด้านหลังมักจะมนุน

พบในป่าชายเลน 12 แห่ง มีมากเป็นพิเศษที่ ST4 เป็นชนิดที่แพร่หลายในน้ำกร่อย ในต่างประเทศพบแพร่หลาย ได้แก่ อินเดียที่ Suddagedda River estuary, Nova Scotia แคนาดา, อังกฤษ, North Atlantic และญี่ปุ่น (Matoba, 1970).

Trochammina macrescens (Brady)

รูปร่างคล้าย *Trochammina* ทั่วไป แตกต่างที่ *T. macrescens* ด้านหน้าประกอบด้วย 8 chamber ด้านหน้า-หลังแบน เปลือกเป็นชิลิกา พบริ่ำบาก่อน 8 แห่ง เป็นจำนวนน้อย ในต่างประเทศที่ Nova Scotia (Scott et al, 1980) และ Mississippi Delta แคนาดา (Scott et al, 1991), ที่ California ในสหรัฐอเมริกาเป็นชนิดที่พบในน้ำกร่อย ที่ Newfoundland พบน้อยมากที่ความลึก 500 เมตร ซึ่งอาจถูกพัดพามาจากที่อื่น (Cole, 1981)

Trochammina nitida Brady

รูปร่างคล้าย *Trochammina* ทั่วไป แต่ด้านหน้าประกอบด้วย 6-9 chamber เปลือกเป็นชิลิกา ด้านหน้าและหลังแบน ด้านหลังขาดเป็นวงม้วนเห็นได้ชัดเจน
พบริ่ำบาก่อน 4 แห่ง จำนวนน้อยมาก ในต่างประเทศที่ Atlantic ความลึก 180-270 เมตร ที่ South Pacific พบที่ความลึก 90-270 เมตร (Barker, 1960) ที่ Newfoundland, แคนาดา พบที่ความลึก 500-3210 เมตร เป็นชนิดที่ไม่แพร่หลายนัก (Cole, 1981)

Trochammina squamata Parker and Jones

ลักษณะด้านหลังโคงูน ด้านหน้าเป็นแองเกิล่า ประกอบด้วย 6 chamber และ chamber สุดท้ายใหญ่ที่สุด ลักษณะของ chamber บิดอี้ทางเดียวกัน รูปร่างคล้ายพระจันทร์เสี้ยว chamber สุดท้ายรูปร่างคล้ายสามเหลี่ยม ชนิดนี้แตกต่างจากชนิดอื่นๆ โดยลักษณะของ chamber และรูปร่างของมัน

พบริ่ำบาก่อน 7 แห่ง เป็นชนิดที่หายาก พบที่ Nova Scotia ในแคนาดา และที่ West Indies ที่ความลึก 700 เมตร (Barker, 1960)

Arenoparella mexicana (Kornfeld)

แผ่นภาพที่ 1 รูปที่ 5-6

ลักษณะการขดตัวเป็นแบบ trochospiral ด้านหลังประกอบด้วย 5 chamber เส้นแบ่ง chamber ไม่ค่อยชัดเจน ด้านหลังแบบเปลือกซิลิกาเนื้อละเอียด ลักษณะเด่นคือรูเปิดด้านข้างเป็นรูปโค้ง และรูเปิดจำนวนมากบริเวณด้านบนของรูเปิดรูปโค้ง

พบแพร่หลายในป่าชายเลน 26 แห่ง ในการศึกษาครั้งนี้ และมีจำนวนมากเป็นพิเศษ ได้แก่ RN8, PA9, KB5, ST1, ST2 และ ST5 ในป่าชายเลนทางด้านอ่าวไทย จังหวัดสุราษฎร์ธานี กับพบเช่นกัน ในต่างประเทศพบแพร่หลายที่ West Indies, สร้างเมือง, อเมริกาใต้, Nova Scotia และ Mississippi Delta ในแคนาดา และ West Africa. (Debenay, 1990)

Jadammina macrescens (Brady)

รูปร่างการขดตัวแบบ trochospiral ด้านหน้าประกอบด้วย 7-8 chamber ตรงกลางของด้านหน้าจะบุ่มลงไป ด้านหลังขดม้วนตัวในแนวราบ มองทางด้านข้างแบบเปลือกเป็นซิลิกา มีร่องรอยของรูเปิดหลายช่องบริเวณด้านข้าง

พบในป่าชายเลน 2 แห่ง คือ ที่ RN4 และ ST3 เป็นชนิดที่หายาก ในต่างประเทศพบในน้ำกร่อยที่ Fraser River Delta ของแคนาดา (Patteson, 1990) ที่นิวฟิล์แลนด์ ไม่ค่อยแพร่หลายนัก

Tiphotrecha comprimata (Cushman and Brönnimann)

แผ่นภาพที่ 6 รูปที่ 3-4

รูปร่างการขดตัวแบบ Trochospiral ด้านหน้าประกอบด้วย 5-7 chamber ด้านหน้าตรงกลางเป็นรูเปิดกว้าง chamber มีลักษณะเหมือนจันทร์เสี้ยว เปลือกเป็นซิลิกาหยาบ ด้านหลังแบบเห็นการม้วนขดได้ชัดเจน ชนิดนี้ต่างจาก *Trochammina* ซึ่งไม่มีรูเปิดกว้างด้านหน้า และรูปร่างของ chamber ที่ต่างกัน

พบในป่าชายเลน 4 แห่ง เป็นตัวอย่างที่หายาก ในต่างประเทศที่ West Indies, Miramichi River estuary, Mississippi Delta และ Nova Scotia ในแคนาดา ไม่แพร่หลายนัก ที่ Newfoundland พบที่ความลึก 2400 – 3000 เมตร (Cole, 1981)

วงศ์ Remaneicidae Loeblich and Tappan, 1964 Recent

Remaneica helgolandica Rhumbler

แผ่นภาพที่ รูปที่ 1-2

การขดตัวแบบ torch spiral ด้านหน้าประกอบด้วย 5-6 chamber ลักษณะของ chamber เป็นรูปจันทร์เลี้ยว chamber สุดท้ายใหญ่ที่สุด ด้านหลังมุน chamber ด้านหลังมองไม่ชัดเจน เปลือกเป็นสีน้ำตาล ลักษณะเด่นจะพบเฉพาะของเส้นลักษณ์ เรียกว่ายเป็นวงรอบเปลือกด้านหน้า จะพบเห็นได้จากตัวอย่างจริงเท่านั้น แต่ในภาพไม่สามารถเห็นเส้นเล็กๆ เหล่านี้

พบในป่าชายเลน 17 แห่ง เป็นจำนวนน้อย ในต่างประเทศที่พบเยอรมัน ฝรั่งเศส และสวีเดน (Loeblich et al, 1964)

วงศ์ Textulariidae Ehrenberg, 1893 ช่วงอายุ Carboniferous-Recent
Textularia candeiana d'Orbigny
 แผ่นภาพที่ 5 รูปที่ 5

ลักษณะด้านบนกว้างและเรียวแหลมด้านล่าง chamber จัดเป็น 2 แฉว วางตัวสับหน่าวกัน เปลือกเป็นซิลิกาหยาบ มีรูเปิดด้านบนของ chamber สุดท้าย ด้านหน้าและหลังแบบ ปลายล่างของตัวอย่างแตกออกบางส่วน

พบใน PT2 เพียงแห่งเดียวบนหาดทราย เป็นตัวอย่างที่หายาก ในต่างประเทศที่ฟลอริดา ในสหรัฐอเมริกา และที่ Matsushima Bay ในญี่ปุ่นพบที่ความลึก 4.4 เมตร (Matoba, 1970)

Textularia cf. T. conica d'Orbigny
 แผ่นภาพที่ 5 รูปที่ 6

ลักษณะคล้ายกับ *T.candeiana* แต่ต่างกันที่มีความกว้างมากกว่าความยาว และมีจำนวน chamber น้อยกว่า เปลือกเป็นซิลิกาหยาบ

ตัวอย่างชนิดนี้ต่างจาก *T.conica* คือ chamber ของ *T.conica* มีจำนวน chamber มากกว่า และเหมือนกันที่มี 2 chamber สุดท้ายกว้างใหญ่

พบที่ PT2 เพียงแห่งเดียวจากหาดทราย ในต่างประเทศ *T.conica* จำนวนเล็กน้อยที่ฟลอริดา สหรัฐอเมริกา และที่ Pacific ความลึก 32 และ 280 เมตร (Barker, 1960)

Textularia earlandi (Phleger)
 แผ่นภาพที่ 2 รูปที่ 6

ลักษณะเป็นข้อ ปล้อง ยาว เปลือกเป็นซิลิกาหยาบ เริ่มต้น chamber มีขนาดเล็ก ต่อมากใหญ่ ขึ้นเมื่อประมาณ 4-5 chamber มีรูเปิดที่ปลายด้านบน

พบในป่าชายเลน 2 แห่ง PA7 และ PA9 ในต่างประเทศที่ East Pacific ที่ความลึก 2475 เมตร ที่ North Atlantic พบริความลึก 1134 เมตร (Barker, 1960)

Reophax nodulosus Brady

แผ่นภาพที่ 1 รูปที่ 7

ลักษณะคล้าย *R.dentaliniformis* แต่แตกต่างที่ *R.nodulosus* มีขนาดยาวกว่า มีจำนวน chamber มากกว่าประมาณ 7-12 chamber เปลือกซิลิกาเนื้อหยาบ

พบในป่าชายเลน 8 แห่ง และพบในจำนวนมากพอสมควรได้แก่ PA9, KB5 และ ST4 นอกนั้น จะพบเป็นจำนวนน้อย ในต่างประเทศที่ฟลอริดาในน้ำค่อนข้างลึก ที่ South Atlantic พบริความลึก 3420 เมตร และที่ Pacific พบริความลึก 2565 เมตร (Barker, 1960)

วงศ์ Ataxophragmiidae Schwager, 1877 ช่วงอายุ Pensylvanian-Recent

Globotextularia sp.

ลักษณะเป็น high trochospiral มี chamber เป็นทรงกลมโดยเฉพาะ 3 chamber สุดท้าย และใหญ่กว่า chamber ที่เหลือ เปลือกซิลิกา บางส่วนแตกหักไม่สมบูรณ์

พบในป่าชายเลน ST4 เพียงแห่งเดียว และหายาก

วงศ์ Saccamminidae Brady, 1884 ช่วงอายุ Ordovician-Recent

Sorosphaera?

ลักษณะ chamber ทรงกลม 4-5 chamber เกาะตัวอยู่ด้วยกัน เปลือกเป็นซิลิกาเนื้อละเอียด บางส่วนแตกหัก

พบในป่าชายเลน PA9 เพียงแห่งเดียว เป็นตัวอย่างที่หายาก

ชนิดเปลือกแคลเซียมคาร์บอเนต

วงศ์ Eponididae Hofker, 1951 ช่วงอายุ Paleocene-Recent

Eponides repandus (Fichtel and Moll)

แผ่นภาพที่ 5 รูปที่ 3

ลักษณะเป็นการขดตัวแบบ trochospiral ด้านหน้าและด้านหลังนูน เปลือกเป็นแคลเซียมคาร์บอเนต มีรูเปิด 2 แห่ง คือที่ตีรูนาของ chamber สุดท้าย และรูเปิดเล็กๆ มากมาย บริเวณด้านข้าง ที่ขอบมีสันเล็กๆ ป্রาก្យโดยรอบ

พบในบริเวณหาดทรายที่ PT2 เพียงแห่งเดียว จำนวนไม่มากนัก ในต่างประเทศพบที่ Gulf of Naples ในอิตาลี และที่สเปนใน Atlantic พบริความลึก 20 เมตร (Barker, 1960)

วงศ์ Discorbidae Ehrenberg, 1838 ช่วงอายุ Triassic-Recent

Helenina anderseni (Warren)

แผ่นภาพที่ 6 รูปที่ 1-2

ลักษณะขดตัวแบบ trochospiral มี chamber 6-7 ขอบเรียบกลม ด้านหน้าบริเวณ chamber สุดท้าย ตอนล่างมีปลายแหลมยื่นออกมานะ ทั้งด้านหน้าและด้านหลังมีรูปเปิดตามยาวของ chamber ซึ่งเป็นลักษณะเด่น เปลือกเป็นแคลเซียมคาร์บอเนต

พบในป่าชายเลน TR3 เพียงแห่งเดียว จำนวนมากพอสมควร เป็นชนิดที่หายาก สามารถคงทนสู่สภาพในป่าชายเลนได้ ในต่างประเทศที่ North America จนถึง West Indies

พบริ Mississippi Delta ในแคนาดา (Scott et al, 1991) และที่ Matsushima Bay ในญี่ปุ่น ที่ความลึก 2 เมตร ชนิดนี้ไม่ค่อยแพร่หลาย (Motoba, 1970)

วงศ์ Glabratellidae Loeblich and Tappan, 1964 ช่วงอายุ Eocene-Recent

Glabratella patelliformis (Brady)

แผ่นภาพที่ 4 รูปที่ 3-4

ลักษณะขดแบบ trochospiral ด้านหน้าแบนและเป็นแองต์รอนกลางเห็นชัดเจน มี chamber เล็กๆ มากมาย ด้านหลังนูนสูง chamber ไม่ชัดเจน เปลือกเป็นแคลเซียมคาร์บอเนต

พบที่บริเวณหาดทรายของ PT2 และ KB3 เป็นจำนวนน้อย ในต่างประเทศที่ Pacific ความลึก 30 เมตร ที่ Matsushima Bay ในญี่ปุ่นพบตัวอย่างที่คล้ายๆ กันนี้ที่ความลึก 4.4 เมตร ชนิดนี้ไม่ค่อยแพร่หลาย (Motoba, 1970)

วงศ์ Cibicididae Cushman, 1927 ช่วงอายุ Cretaceous-Recent

Cibicides labatulus (Walker and Jacob)

ลักษณะขดแบบ trochospiral ด้านหน้ามีช่อง ด้านหลังแบนราบ มี chamber ประมาณ 7-8 เปลือกเป็นแคลเซียมคาร์บอเนต มีสันที่ขอบนอก มีรูเปิดที่เห็นได้ชัดจากด้านหลังเป็นทางยาวลึกเข้าไปภายใน

พบที่ KB1 เพียงแห่งเดียว ซึ่งเป็นป่าชายเลน เป็นชนิดที่หายาก ในต่างประเทศพบที่ Matsushima Bay ที่ความลึก 4.4 เมตร ที่สเปน Atlantic พบริความลึก 20 เมตร Pacific พบริความลึก 2475 และ 3690 เมตร (Barker, 1960)

วงศ์ Amphisteginidae Cushman, 1927 ช่วงอายุ Cretaceous, Eocene-Recent
Amphistegina radiata (Fichtel and Moll)

ลักษณะมีด้านหน้าและด้านหลัง สีขาวขุ่น มีจำนวน chamber มากมาก บริเวณรูเปิดจะมีตุ่มเล็กๆ มากมาก เปลือกเป็นแคลเซียมคาร์บอเนต

พบที่ PT2 หาดทรายเพียงแห่งเดียว มีจำนวนมาก วงศ์นี้เป็นพวงօคลัสยังน้ำอุ่นและตื้น ความลึกไม่เกิน 70 เมตร พบริได้ทั่วไป

วงศ์ Rotaliidae Ehrenberg, 1839 ช่วงอายุ Cretaceous-Recent
Pararotalia nipponica (Asano)

ลักษณะขดตัวแบบ trochospiral ด้านหน้าและหลังมีช่อง ด้านหลังมีปุ่มนูนเด่นชัด บางครั้ง chamber มีรูปร่องแหลม หรือมีหนามยื่นตามขอบ เปลือกเป็นแคลเซียมคาร์บอเนต

พบที่หาดทรายของ PT2 ละ KB3 เป็นจำนวนมากมาก ในต่างประเทศพบที่ Matsushima Bay ในความลึก 1.2 เมตร และ 12.5 เมตร สกุลนี้พบแพร่หลายทั่วไป

Ammonia beccarii (Linne')
 แผ่นภาพที่ 3 รูปที่ 5-6

ลักษณะขดแบบ trochospiral ด้านหน้าประกอบด้วย 6-9 chamber ตรงกลางมีรอยแยกคล้ายรูปดาว บางครั้งมีปุ่มนูนเด่นตรงกลาง ขอบเรียบมนไม่มีสัน ด้านหน้าและหลังมีลักษณะ

พบในป่าชายเลนจำนวนน้อยมาก แต่พบในบริเวณหาดทรายมีปริมาณมาก พบ 12 แหล่ง แต่มีมากที่ KB1 และ KB3 ในต่างประเทศที่ Matsushima Bay ที่ความลึก 2.2 เมตร ในอินเดีย พบที่ Suddagedda River estuary ความลึกไม่เกิน 26 เมตร และในประเทศไทยพบว่ามักอาศัยอยู่ในอุณหภูมิ $25^{\circ}\text{-}30^{\circ}\text{C}$ ซึ่งเป็นช่วงที่ดีที่สุด ความลึกของน้ำไม่เกิน 40 เมตร ชนิดนี้เป็นพวกอาศัยในเขต temperate-warm water

วงศ์ Elphidiidae Galloway, 1933 ช่วงอายุ Paleocene-Recent

Elphidium crispum (Linne')

แผ่นภาพที่ 4 รูปที่ 1

ลักษณะนูนทั้งด้านหน้าและด้านหลัง มี chamber จำนวนมาก และมี retral process ซึ่งเป็นแขนงเล็กๆ ยื่นออกจากแต่ละ chamber มีสันขอบรอบนอก เปลือกเป็นแคลเซียมคาร์บอเนต มีปุ่มเล็กๆ กะรากายอยู่ทั่วไป

พบในบริเวณหาดทรายของ PA5 และ KB3 เป็นจำนวนมาก สกุลนี้มักพบในน้ำตื้น ซึ่งมีทรายหรือเปลือกหอย ในต่างประเทศที่ Matsushima Bay ความลึก 1.2 เมตร ที่ Pacific พบที่ความลึก 15 เมตร

Elphidium somaense Takayanagi

แผ่นภาพที่ 4 รูปที่ 2

ลักษณะนูนทั้งด้านหน้าและด้านหลัง คล้าย *Elphidium* ทั่วๆ ไป จะแตกต่างที่ *E.somaense* มีลดลายเรียบง่าย มีประมาณ 13 chamber บริเวณใต้ chamber สุดท้าย มีปุ่มเล็กมากนัย ขอบรอบนอกมน ไม่มีสัน

พบที่หาดทราย PT2 เพียงแห่งเดียว เป็นชนิดที่หายาก ในต่างประเทศที่ Matsushima Bay ที่ความลึก 5.2 เมตร (Matoba, 1970)

Elphidium craticulatum (Fichtel and Moll)

แผ่นภาพที่ 1 รูปที่ 3

ลักษณะทั้งด้านหน้าและหลัง มี chamber มากถึง 20 ขอบรอบนอกเรียบ
ไม่มีสัน บริเวณตอนกลางของด้านหน้าและด้านหลัง มีปุ่มใหญ่เด่นชัด

พบที่หาดทรายของ PA5, PT2, และ KB3 ในจำนวนมากพอสมควร ทางทะเลด้านอ่าวไทย
พบที่ความลึก 30 – 64 เมตร ในต่างประเทศพบที่ Pacific พบที่ความลึก 29-45 เมตร (Barker, 1960)

วงศ์ Miliolidae Ehrenberg, 1839 ช่วงอายุ Jurassic-Recent

Quinqueloculina reticulata (d'Orbigny)

รูปร่างรี ด้านหน้ามี 4 chamber ด้านหลังประกอบด้วย 3 chamber เปลือกเป็นแคลเทียม
คาร์บอนเนต ผิวทั้งด้านหน้าและด้านหลังมีรูขันดาใหญ่ทั่วไป มีรูเปิดอยู่ด้านบน

พบที่ PT2 บริเวณชายหาดเพียงแห่งเดียวในจำนวนเล็กน้อย ในต่างประเทศพบที่นิกินิ ความ
ลึก 50 เมตร ที่ Gaspar Straits ใน Pacific พบที่ความลึก 72 เมตร ชนิดนี้อาศัยอยู่ในน้ำตื้นเขต
tropical และ subtropical

Quinqueloculina parkeri (Brady)

แผ่นภาพที่ 3 รูปที่ 3

ลักษณะคล้ายกับ *Q.reticulata* แตกต่างกันที่ *Q.parkeri* มีลวดลายเป็นริ้วๆ ในแนววางกับ
chamber เปลือกเป็นแคลเทียมคาร์บอนเนต

พบที่ KB3 เพียงแห่งเดียว จำนวนเล็กน้อย ทางทะเลด้านอันดามันพบที่ความลึก 40-70 เมตร
ในต่างประเทศพที่ฟลอริดาปะรเทศ สหรัฐอเมริกา (Bock et al, 1971) และที่ญี่ปุ่น ใน Pacific พบ
ที่ความลึก 72 เมตร เป็นชนิดที่พับใน coral reef. (Cushman, 1917)

Quinqueloculina seminulum (Linn'e)

ลักษณะเป็นรูปรี ไม่มีลวดลาย เรียบง่าย เปลือกเป็นแคลเทียมคาร์บอนเนต

พบที่ TR1 เพียงแห่งเดียว เป็นจำนวนเล็กน้อย ในต่างประเทศพที่ Atlantic ที่ความลึก 80-
108 เมตรและ 1134 เมตร (Barker, 1960) ที่ Matsushima Bay ในญี่ปุ่นพบที่ความลึก 4.4 เมตร

Quinqueloculina agglutinans d'Orbigny

ลักษณะคล้ายกับ *Quinqueloculina* อื่นๆ ต่างกันที่ผิวน้ำทั้งด้านหน้าและด้านหลัง มีรัตถุคล้ายเม็ดทรายหยาบๆ กระจายโดยทั่วไป

พบที่ PT2 แห่งเดียวเป็นจำนวนพอสมควร ในต่างประเทศที่อ่องกง ความลึก 118 และ 900 เมตร (Cushman, 1917) ที่ฟลอริดา สหรัฐอเมริกา พบรากาศไม่เกิน 2.7 เมตร ที่ Atlantic พบรากาศ 4383 เมตร (Barker, 1960)

Pseudomassilina australis (Cushman)

แผ่นภาพที่ 3 รูปที่ 4

ลักษณะกว้างและแบน ขดเป็นวง เปลือกเป็นแคลเซียมคาร์บอเนต มีรูเปิดยาวที่ปลายด้านหนึ่ง

พบที่ KB3 เพียงแห่งเดียว เป็นชนิดที่หายาก ในต่างประเทศที่ Pacific ความลึก 15 เมตร (Barker, 1960)

วงศ์ Bolivinitidae Cushman, 1927 ช่วงอายุ Triassic-Recent

Bolivina sp.

รูปร่างยาว ด้านล่างจะเล็กกว่าด้านบน การจัด chamber เป็นสองแฉลังหัวว่างกันคล้ายเปีย ผอม เปลือกเป็นแคลเซียมคาร์บอเนต ผิวใส ลักษณะแบน

พบที่ PT2, KB1 และ KB3 เป็นจำนวนเล็กน้อย

วงศ์ Nubeculariidae Jones, 1875 ช่วงอายุ Pensylvanian-Recent

Spiroloculina sp. A

ลักษณะแบนคล้ายวงรี ไม่ค่อยสมบูรณ์แตกหักบางส่วน เปลือกเป็นแคลเซียมคาร์บอเนต
พบที่ PT2 เพียงแห่งเดียว เป็นชนิดที่หายาก

Spiroloculina sp. B

แผ่นภาพที่ 5 รูปที่ 4

ลักษณะรูปแบบ chamber รอบนอกเห็นได้ชัดเจน แต่ภายในการเรียงตัวของ chamber ไม่ชัดเจน มีรูเปิดอยู่ปลายด้านบน เปลี่ยนเป็นแคลเซียมคาร์บอเนต
พบที่ PT2 เพียงแห่งเดียว เป็นชนิดที่หายาก

วงศ์ Buliminidae Jones, 1875 ช่วงอายุ Paleocene-Recent
Reusella sp.

ลักษณะเป็นรูปทรงสามเหลี่ยม ปลายล่างแหลม ด้านบนกว้าง แต่ละด้านมีการแบ่งเป็น chamber เปลี่ยนเป็นแคลเซียมคาร์บอเนต เปลี่ยนมีรูพนูนมากตามแนว chamber บางส่วนของด้านบนแตกหัก

พบที่ KB3 เพียงแห่งเดียว เป็นชนิดที่หายาก

Bulimina sp.

ลักษณะเป็นรูปสามเหลี่ยม ปลายล่างเล็ก ด้านบนใหญ่ รูปทรงภายนอกไม่เป็นมุมแหลม
เหมือนอย่าง Reusella เปลี่ยนเป็นแคลเซียมคาร์บอเนต รูปเปิดด้านบนเป็นรูปยาวรีชัดเจน
พบที่ KB1 เพียงแห่งเดียว เป็นตัวอย่างที่หายาก

วงศ์ Globigerinidae Carpenter, Parker and Jones, 1862 ช่วงอายุ Cretaceous-Recent
Globigerina rubescens Hofker

แผ่นภาพที่ 6 รูปที่ 5

มีการขดตัวแบบ trochospiral ด้านหน้ามี 4 chamber ลักษณะกลม มีขนาดเล็ก ผิวนอก
ขุ่นระเป็นหลุมเล็กๆ อยู่ทั่วไปและดูหยาบ มีรูเปิด 1 แห่ง ระหว่าง chamber เปลี่ยนเป็นแคลเซียม
คาร์บอเนต

พบที่ PT2 เพียงแห่งเดียว เป็นชนิดที่หายาก เป็น planktonic ที่ล่องลอยตามผิวน้ำ โดย
กระแสลมพัดพาเข้าสู่ฝั่ง พบในทะเลอันดามันเป็นจำนวนมาก ในต่างประเทศพบที่ Malaya-
Indonesian Archipelago

Orbulina universa (d'Orbigny)

เป็น planktonic ลักษณะทรงกลม เปลือกเป็นแคลเซียมคาร์บอเนต มีรูพุ่นบันผิวทั่วไป บางครั้งอาจพบมากกว่า 1 chamber อาจเห็นร่องรอยการขาดตัวของ chamber มีขนาดเล็ก

พบที่ PT2 เพียงแห่งเดียว เป็นชนิดที่หายาก เกิดจากคลื่นชัดจากทะเลเปิดเข้าสู่ฝั่ง ในต่างประเทศพบที่ Atlantic ความลึก 1215 เมตร และที่ New Zealand พบที่ความลึก 495 เมตร (Barker, 1960)

วงศ์ Asterigerinidae d'Orbigny, 1839 ช่วงอายุ Cretaceous-Recent
Asterigerina carinata d'Orbigny

ลักษณะขดแบบ Trochospiral ฐานทั้งสองด้าน แต่ด้านหน้าบานมากกว่า ด้านหลังค่อนข้างเรียบ ด้านหน้าประกอบด้วย 5 chamber มีลักษณะคล้ายดาวหรือกลีบดอกไม้ เปลือกเป็นแคลเซียมคาร์บอเนต

พบที่ KB1 เพียงแห่งเดียว เป็นชนิดที่หายาก ในต่างประเทศที่ฟลอริดา สหรัฐอเมริกา West Indies แพร่หลายมากในน้ำตื้นและอบอุ่น

วงศ์ Alveolinidae Ehrenber, 1839 ช่วงอายุ Cretaceous-Recent
Alveolinella quoyi (d'Orbigny)

รูปร่างยาวปลายทั้งสองด้านเล็ก มัน แบ่ง chamber ตามแนวยาว และแบ่งเป็น chamber เล็กๆ ตามแนวขวาง ฐานเปิดเป็นแฉะหลายແล้า เปลือกเป็นแคลเซียมคาร์บอเนต

พบที่ PT2 แห่งเดียว ในปริมาณน้อย ในต่างประเทศที่ Pacific ความลึก 29-45 เมตร (Barker, 1960) มักพบในเขต tropical ที่ความลึก 10-80 เมตร

วงศ์ Anomalinidae Cushman, 1927 ช่วงอายุ Triassic-Recent
Anomalina globulosa Chapman and Parr

เป็นการขดตัวแบบ trochospiral ด้านหน้าบาน ด้านหลังค่อนข้างเรียบ ด้านหน้าประกอบด้วย 7-8 chamber ซึ่ง chamber แรกมีขนาดเล็ก chamber สุดใหญ่ที่สุด เปลือกเป็นแคลเซียมคาร์บอเนต ใส ขอบนอกเรียบมน ไม่มีสัน

พบที่ KB1 เพียงแห่งเดียว เป็นจำนวนน้อย ในต่างประเทศพบที่ Atlantic ความลึก 750 เมตร และที่ Pacific พบที่ความลึก 3690 เมตร (Barker, 1960)

วงศ์ Glandulinidae Reuss, 1860 ช่วงอายุ Jurassic-Recent

Fissurina sp.

รูปร่างเหมือนหยดน้ำ 似 มีขนาดเล็ก แบน เปลือกเป็นแคลเซียมคาร์บอเนต มีรูเปิดด้านบน

วงศ์ Cymbaloporidae Cushman, 1927 ช่วงอายุ Cretaceous-Recent

Cymbaloporella?

มีการขดตัวแบบ trochospiral ด้านหน้าค่อนข้างเรียบ แต่บางส่วนถูกทำลาย ทำให้เห็น Chamber ไม่ชัดเจน ด้านหลังมีนูนเล็กน้อย มีรูพรุนหลาย处 อยู่ทั่วไป และผิวนด้านหลัง Chamber มากมายเรียงตัวเป็นวงหลาวยัง เปลือกเป็นแคลเซียมคาร์บอเนต

พบที่ KB3 เพียงแห่งเดียว เป็นจำนวนน้อย สกุลนี้พบได้ปอยมากในต่างประเทศ เช่นที่ Pacific พบที่ 180, 230 และ 380 เมตร

วงศ์ Nodosarii Ehrenberg, 1838 ช่วงอายุ Permian-Recent

Lagena laevis (Montagu)

เป็น chamber เดียว กลมรี มีค oyava มองดูคล้ายเจกันทองเรียว เปลือกเป็นแคลเซียมคาร์บอเนต似 มีขนาดเล็ก

พบที่ KB1 แห่งเดียว เป็นชนิดที่หายาก ในต่างประเทศพบที่ Matsushima Bay ในญี่ปุ่น ความลึก 3.5 เมตร และพบที่ซ่องกงความลึก 13 เมตร โดยทั่วไปสกุลนี้พบได้ทั้งน้ำลึกและน้ำตื้น

วงศ์ Nummulitidae de Blainvill, 1825 ช่วงอายุ Cretaceous-Recent

Heterostegina cf.H.curva Moebius

แผ่นภาพที่ 4 รูปที่ 5

ลักษณะขดเป็นวง ด้านหน้าและด้านหลังนูน ปลายด้านบนถูกทำลายบางส่วนมี chamber ประมาณ 8-9 chamber แต่ละ chamber มีการแบ่งตัวเป็น chamber เล็กๆ บริเวณใกล้ขอบนอก มองดูคล้ายกลีบดอกไม้ มีขอบสันรอบๆ เปลือกเป็นแคลเซี่ยมคาร์บอเนต

พบที่ PT2 เพียงแห่งเดียว เป็นชนิดที่หายาก ในต่างประเทศที่ Pacific ความลึก 72 เมตร โดยทั่วไปสกุลนี้พบในน้ำตื้น ความลึกไม่เกิน 70 เมตร (Barker, 1960)

วงศ์ Nonionidae Schultze, 1854 ช่วงอายุ Jurassic- Recent
Nonion scaphum (Fichtel and Moll)

ลักษณะเป็นรูปเรียบ แบ่งเป็น Chamber เริ่มต้นมีขนาดเล็กและใหญ่ขึ้นจน chamber สุดท้ายมี ขนาด chamber มีลักษณะยาว เปลือกเป็นแคลเซี่ยมคาร์บอเนต ได้

พบที่ KB1 เพียงแห่งเดียว เป็นชนิดที่หายาก ในต่างประเทศที่ Pacific ความลึก 620 เมตร โดยทั่วไปสกุลนี้พบได้ในน้ำตื้นและน้ำลึก (Barker, 1960)

วงศ์ Soritidae Ehrenberg, 1839 ช่วงอายุ Triassic-Recent
Peneroplis carinatus d'Orbigny.
 แผ่นภาพที่ 5 รูปที่ 1-2

ลักษณะขดเป็นวงແน้น ประกอบด้วย 9 chamber มีเส้นเล็กๆ จากแนวของ chamber ขนาด กับขอบ รูปเป็นรูปหลายรู ขอบรอบนอกเรียบ เปลือกเป็นแคลเซี่ยมคาร์บอเนต

พบที่ KB3 และ PT2 เป็นจำนวนน้อย ในต่างประเทศที่ Atlantic ความลึก 20 เมตร (Barker, 1960) และที่ฟลอริดา, สหรัฐอเมริกา (Bock et al, 1971)

การแพร่กระจายของฟอเรมมินิเพอร่าในน้ำกร่อย

จากการศึกษาพบว่าดินตะกอนจากจังหวัดระนอง พังงา และตรัง มีปริมาณของฟอเรมมินิเพอร่าจำนวนมากน้อยกว่า เมื่อเทียบกับดินตะกอนที่ได้จากจังหวัดกระเบียง ศรีสะเกษ ดินตะกอนจากจังหวัดระนองจะมีปริมาณฟอเรมมินิเพอร่ามากที่สุดเฉลี่ย 15/10 ml และดินตะกอนจากกระเบียง มีปริมาณฟอเรมมินิเพอร่ามากที่สุด โดยเฉลี่ยประมาณ 391/10 ml (ดินตะกอนที่มีฟอเรมมินิเพอร่ามากกว่า 200 ชิ้นไปพบอยู่ 12 แหล่ง)

ระนอง (RN1-9)

ฟอเรมมินิเพอร่ามีเปลือกของสารซิลิกาเกือบทั้งหมด พบรูปเปลือกเคลือบเชิงมcarbонเนตจำนวนเล็กน้อย

RN8 พบรูปเปลือกซิลิกาสูงสุด 16 ชนิด 14 朔ุล ที่มีจำนวนมากคือ *Arenoparella mexicana* ขณะที่เปลือกเคลือบเชิงมcarbонเนตถูกพบเพียง 1 ชนิด คือ *Ammonia beccarii* ที่ RN1 และ RN4

พังงา (PA1-10)

ส่วนใหญ่เป็นเปลือกซิลิกาเกือบทั้งหมด

PA9 พบรูปเปลือกซิลิกา 22 ชนิด 14 朔ุล ที่สำคัญได้แก่ *A.mexicana* และ *Trochammina spp.* แต่ไม่พบเปลือกเคลือบเชิงมcarbонเนต

PA5 ไม่พบเปลือกซิลิกา แต่พบเปลือกเคลือบเชิงมcarbонเนต 4 ชนิด ที่สำคัญ *Elphidium crispum*, *Ammonia beccarii*, *Elphidium craticulatum* และ *Quinqueloculina spp.* อธิบายได้ว่าบริเวณนี้แตกต่างจากบริเวณอื่น เนื่องจากเป็นหาดทรายในอ่าวพังงา ขณะที่บริเวณอื่นๆ จะเป็นโคลน

PA7 พบ *A.beccarii* ด้วยเช่นกัน

ภูเก็ต (PT1-2)

PT 2 เป็นชายหาดที่ติดต่อกับทะเลเปิด จำนวนฟอเรมมินิเพอร่ามากกว่า 1000/10 ml. เป็นเปลือกเคลือบเชิงมcarbонเนต 26 ชนิด ที่สำคัญ ได้แก่ *Amphistegina radiata*, *Elphidium spp.* และ *Pararotalia nipponica* แต่พบเปลือกซิลิกาน้อยมากเพียง 2 ชนิด คือ *Textularia candeiana* และ *T.cf.T.conica*

ตรัง (TR1-6)

TR4 พบเปลือกซิลิกา 11 ชนิด ที่สำคัญคือ *Lituola sp.* แต่ไม่พบเปลือกแคลเซียมคาร์บอเนต

TR1 เป็นป่าชายเลนใกล้หาดปากเมง ดินตะกอนส่วนใหญ่เป็นทรายพบเปลือกซิลิกา 8 ชนิด ที่สำคัญได้แก่ *T.inflata* และ 6 ชนิด เป็นเปลือกแคลเซียมคาร์บอเนต

TR3 พบเปลือกซิลิกา 8 ชนิด ที่สำคัญ ได้แก่ *A.mexicana., M.fusca* และ *Remaneica helgolandica* พบเปลือกแคลเซียมคาร์บอเนต 2 ชนิด ที่สำคัญคือ *Helenina anderseni*

TR6 เป็นตัวอย่างในบ่อ กุ้งไม่พบฟองแร่มินิเฟอร์ชันิดใดเลย

กระปี (KB1-7)

KB1 พบเปลือกซิลิกา 13 ชนิด ที่สำคัญได้แก่ *Trilocularena sp.* และ *Trochammina spp.* และเปลือกแคลเซียมคาร์บอเนต 21 ชนิด ที่สำคัญคือ *A.beccarii* บริเวณนี้เป็นป่าชายเลนที่อุดมสมบูรณ์

KB3 เป็นหาดทราย บริเวณสุสานหอย บ้านแหลมโพธิ์ พบเปลือกซิลิกา 1 ชนิด คือ *Textularia earlandi* แต่พบเปลือกแคลเซียมคาร์บอเนต 17 ชนิด ที่สำคัญได้แก่ *Pararotalia nipponica, Elphidium crispum* และ *A.beccarii*

KB6 เป็นชายเลนพบเป็นเปลือกซิลิกาทั้งหมด 9 ชนิด ที่สำคัญได้แก่ *Trochammina spp., Haplophragmoides wilberti* และ *A.mexicana*

สตูล (ST1-5)

ST 1 พบเปลือกเป็นซิลิกาส่วนใหญ่มี 9 ชนิด ที่สำคัญได้แก่ *A.mexicana, H.wilberti* และ *Trochammina spp.* พบเปลือกแคลเซียมคาร์บอเนต 1 ชนิด คือ *Triloculina sp.*

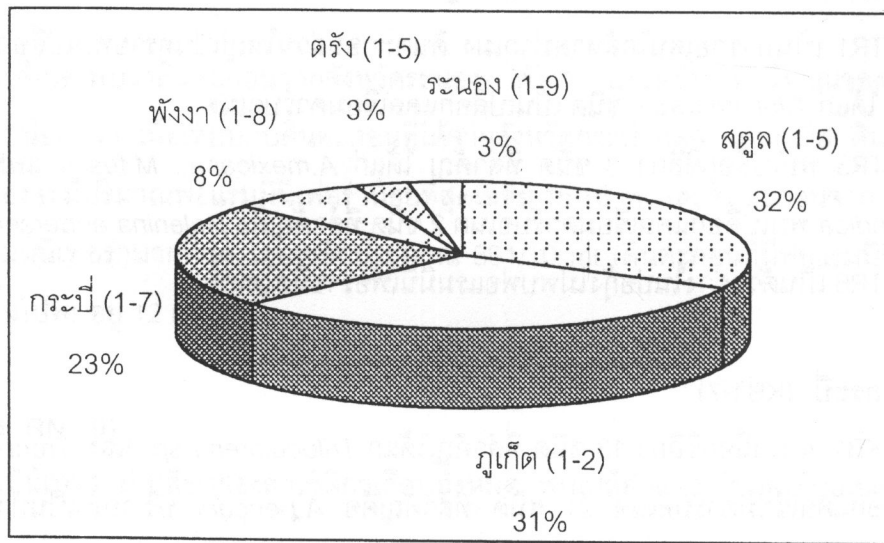
ST2 เป็นเปลือกซิลิกาทั้งหมด 18 ชนิด ที่สำคัญได้แก่ *A.mexicana, H.wilberti, Miliammina fusca, Trilocularena sp.* และ *Trochammina spp.*

ST3 ส่วนใหญ่เป็นเปลือกซิลิกา มี 10 ชนิด ที่สำคัญได้แก่ *Ammobaculites spp., Ammotium fragile* และ *M.fusca* พบแคลเซียมคาร์บอเนต 1 ชนิด คือ *A.beccarii*

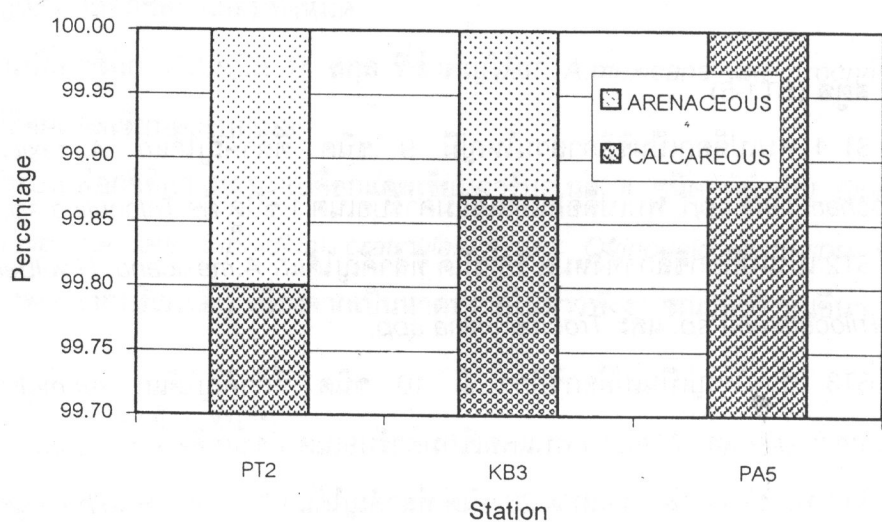
ST4 พบเปลือกซิลิกาทั้งหมด 26 ชนิด ที่สำคัญได้แก่ *T.inflata, H.wilberti* และ *A.mexicana* ไม่พบเปลือกแคลเซียมคาร์บอเนต

ST5 พบเปลือกซิลิกา 16 ชนิด ที่สำคัญ ได้แก่ *A.mexicana* และ *Trochammina spp.* พบเปลือกแคลเซียมคาร์บอเนตเพียง 1 ชนิด คือ *Nonion scaphum*

การแพร่กระจายของฟองแร่มินิเฟอร์ตามอัตราส่วน ดูภาพที่ 5



ภาพที่ 5 แสดงสัดส่วนของฟอเรมมินิเพอร์ร่าในบริเวณจังหวัดระนอง พังงา กะเก็ต
กระปี่ ตรังและสุตุล



ภาพที่ 6 กราฟแท่งแสดงจำนวนและชนิดของฟอเรมมินิเพอร์ร่าในบริเวณหาดทราย

ความสัมพันธ์ของฟอเรมมินิเฟอร่ากับสิ่งแวดล้อม

динตะกอนได้รับ

ตัวอย่าง PA5, PT2 และ KB3 ได้มาจากหาดทรายในอ่าวพังงาจากท่าฉัตรไชย จ.ภูเก็ต และจากจังหวัดกระบี่ จะพบว่าส่วนใหญ่ฟอเรมมินิเฟอร่ามีเปลือกเป็นแคลเซียมคาร์บอเนต แต่ตัวอย่างที่ได้จากป่าชายเลนซึ่งมีดินเลน และเศษหินส่วนของพืช จะพบฟอเรมมินิเฟอร่าชนิดที่มีเปลือกเป็นชิลิกาเป็นส่วนใหญ่ ภาพที่ 6

การหาความสัมพันธ์ระหว่าง dinatakon ได้รับกับเปลือกของฟอเรมมินิเฟอร่าโดยใช้สถิติแบบ non-parametric โดยมีสูตรข้างล่างดังนี้

$$r_s = \frac{1 - 6 \sum_{i=1}^n (x_i - y_i)^2}{n(n^2 - 1)}$$

r_s = the Spearman rank-correlation coefficient

ST1 คู่กับ PA5 n=15 $r_s=0.973$

ST5 คู่กับ PT2 n=46 $r_s=0.997$

St4 คู่กับ KB3 n=44 $r_s=0.997$

ST1, ST4 และ ST5 เป็นตัวอย่างที่ได้ป่าชายเลน จากค่าของ r_s ซึ่งมีค่าสูงแสดงถึง dinatakon ได้รับมีความสัมพันธ์กับเปลือกของฟอเรมมินิเฟอร่าเป็นอย่างมาก

บางตัวอย่างที่มีตะกอนเป็นทรายอาจจะไม่พบฟอเรมมินิเฟอร่า พนวณมักจะอาศัยอยู่ในดินตะกอนที่ละลายน้ำ

ความเค็มของน้ำ

ในช่วงที่ทำการเก็บตัวอย่างมีฝนตกบ่อยครั้ง น้ำฝนทำให้ความเค็มของน้ำเจือจากลงจนบางครั้งใกล้จะเป็นน้ำจืด ตัวอย่างซึ่งเก็บจากป่าชายเลนได้จากคลองต่างๆ และตัวอย่างจากหาดทรายมีความเต็มของน้ำตั้งแต่ 0.2‰ ที่ TR3 และสูงสุดคือ 4‰ ที่ PA5, PT1, PT2, KB3, KB7, ST1 และ ST2 ดูตารางที่ 3

ค่าความเป็นกรด-ด่าง (pH)

โดยทั่วไปค่าความเป็นกรด-ด่างของน้ำจากจังหวัดระนองและพังงาจะมีค่าต่ำ และค่าต่ำที่สุดที่ RN8 และ RN9 คือ 6.5 ในขณะที่ค่า pH สูงสุดอยู่ที่ ST1 คือ 8.5 ดูตารางที่ 4

ตารางที่ 3 แสดงจำนวนฟอเรมมินิเฟอร์ร่าและค่าความเค็มของน้ำ

% ความเค็มของน้ำ	จำนวนฟอเรมมินิเฟอร์ร่า
0-0.5	39-165
0.6-1.0	37-503
1.1-1.5	20
1.6-2.0	15-873
2.1-2.5	49-254
2.6-3.0	7-527
3.1-3.5	15-1534
3.6-4.0	25-1052

ตารางที่ 4 แสดงจำนวนฟอเรมมินิเฟอร์ร่า และค่า pH ของน้ำ

pH	จำนวนฟอเรมมินิเฟอร์ร่าโดยเฉลี่ย
6.5-7.0	76
7.1-7.5	140
7.6-8.0	280
8.1-8.5	585

ปริมาณ Total sulfide และฟอสเฟต

ปริมาณ Total sulfide ในดินตะกอน ถ้าพบรูปเป็นปริมาณมาก ทำให้เกิดสภาพที่ไม่เหมาะสมแก่สิ่งมีชีวิตเด็กๆ อาศัยอยู่ และปริมาณในแต่ละแห่งไม่เท่ากัน ค่าต่ำสุดของ Total sulfide ในดินตะกอนจากภูเก็ตคือ 0.02% และค่าสูงสุดที่จังหวัดพังงาคือ 3.47% เนื่องจากอ่าวพังงาเป็นน้ำข้าง ไม่ค่อยมีการเคลื่อนไหว น้ำมีสีเขียวเข้ม มีเศษพืชและสิ่งของจำนวนมาก จึงทำให้มีค่า Total sulfide สูง ดินตะกอนจากจังหวัดระนองและจังหวัดยะลาบีกมีค่าต่ำเท่านั้น

ปริมาณฟอสเฟตในดินตะกอนที่ทำการศึกษาพบว่า อุปทานระหว่าง 0.01 ถึง 0.09% ซึ่งดินตะกอนจากจังหวัดระนองและจังหวัดสตูล มีค่าสูงที่สุด ขณะที่ดินตะกอนจากภูเก็ตจะมีค่าต่ำสุด ดินตะกอนจากจังหวัดพังงา กระเบี้ย และตรัง มีค่าค่อนข้างสูง ใน การศึกษาครั้งนี้ ค่อนข้างจะไม่มีความสัมพันธ์กับจำนวนฟอเรน มินิเพอร์ร่าที่อาศัยอาหารจากพื้นดิน เช่น บู่ เป็นต้น

ปริมาณของ Total sulfide และฟอสเฟตได้แสดงไว้ในตารางที่ 5 และ 6

ตารางที่ 5 แสดงผลการตรวจหา total sulfide

Station	Total sulfide	Station	Total sulfide
RN 1	1.05	PT 1	0.11
RN 2	0.28	PT 2	0.02
RN 3	0.23	KB 1	0.68
RN 4	0.21	KB 2	0.17
RN 5	1.33	KB 3	0.08
RN 6	0.07	KB 4	0.09
RN 7	0.48	KB 5	2.53
RN 8	0.67	KB 6	0.72
RN 9	0.66	KB 7	0.06
PA 1	0.54	TR 1	0.03
PA 2	2.82	TR 2	0.56
PA 3	0.10	TR 3	0.13
PA 4	3.47	TR 4	0.45
PA 5	0.28	TR 5	0.20
PA 6	0.67	TR 6	0.29
PA 7	0.77	ST 1	0.38
PA 8	0.22	ST 2	2.77
PA 9	1.49	ST 3	0.51
PA 10	0.36	ST 4	2.42

ตารางที่ 6 แสดงผลการตรวจหาฟอสเฟต

Station	Phosphate(%)	Station	Phosphate(%)	Station	Phosphate(%)
RN 1	0.09	KB 1	0.07	PT 1	0.01
RN 2	0.04	KB 2	0.02	PT 2	0.01
RN 3	0.02	KB 3	0.02	PA 1	0.02
RN 4	0.04	KB 4	0.01	PA 2	0.03
RN 5	0.04	KB 5	0.03	PA 3	0.02
ST 1	0.05	KB 6	0.04	PA 4	0.03
ST 2	0.06	KB 7	0.02	PA 5	0.02
ST 3	0.02	TR 1	0.01	PA 6	0.04
ST 4	0.04	TR 2	0.08	TR 4	0.03
ST 5	0.06	TR 3	0.01	TR 5	0.06
				TR6	0.03

ความหลากหลายของฟอเรมมินิฟอร่า

(Diversity)

ในแต่ละแหล่งที่ศึกษาจะพบจำนวนและชนิดของฟอเรมมินิฟอร่าแตกต่างกัน ตั้งแต่จำนวนมาก จำนวนน้อย หรือไม่พบเลย ซึ่งขึ้นอยู่กับหลายๆ ปัจจัยข้างต้น

สูตรที่ใช้ในการหาค่าความหลากหลายของฟอเรมมินิฟอร่าคือ Shannon-Weaver diversity index ดังนี้

$$H = - \sum p_i \ln p_i$$

H = the Shannon-Weaver diversity index

p_i = สัดส่วนปริมาณของชนิดที่ i ในตัวอย่าง

ระนอง-พังงา-ภูเก็ต

динเดกอนจากจังหวัดระนอง (RN1-9) ให้จำนวนฟอเรมมินิฟอร่าน้อยกว่า 20 ส่วนใหญ่มีเปลือกซิลิกา จำนวนชนิดตั้งแต่ 4-16 และความหลากหลายตั้งแต่ 1.14-1.87

ดินตะกอนจากจังหวัดพังงา (PA1-10) มีความแตกต่างในจำนวนของฟอเรมมินิเฟอร่า บางตัวอย่างน้อยกว่า 10 ในขณะที่บางตัวอย่างมากกว่า 500 พบร่วมจำนวนชนิดตั้งแต่ 4-22 ความหลากหลายอยู่ในช่วง 0.47-2.25 ส่วนใหญ่เป็นเปลือกซิลิกาภูเว็น PA5 ที่มีเปลือกแคลเซียมคาร์บอเนต

ดินตะกอนจากจังหวัดภูเก็ต (PT1-2) จำนวน 2 ตัวอย่าง แต่อยู่ในสภาพแวดล้อมที่ต่างกัน PT1 ได้จากป่าชายเลน มีจำนวนฟอเรมมินิเฟอร่าน้อยกว่า 10 ขณะที่ PT2 ได้จากหาดทราย พบร่วมมินิเฟอร่าจำนวนมากมายเกิน 1000 และส่วนใหญ่เป็นเปลือกแคลเซียมคาร์บอเนต PT1 พบร่วมมี 7 ชนิด ค่าความหลากหลาย 1.50 PT2 พบร่วมมี 28 ชนิด ค่าความหลากหลาย 2.26

grade-ตรัง-สตูล

ดินตะกอนจากจังหวัดgrade (KB1-7) ที่น่าสนใจ ได้แก่ KB1 และ KB3 ซึ่งพบจำนวนฟอเรมมินิเฟอร่ามาก ค่าความหลากหลายตั้งแต่ 0.85-2.02 มีจำนวนชนิดตั้งแต่ 4-34 KB1 ได้จาก ป่าชายเลนแต่กลับพบว่ามีฟอเรมมินิเฟอร่าเปลือกแคลเซียมคาร์บอเนต จำนวนมากถึง 21 ชนิด ส่วน KB3 ได้จากหาดทราย พบร่วมมีเปลือกแคลเซียมคาร์บอเนตจำนวนมากมาก เตเปลือกซิลิกาพบน้อยมาก

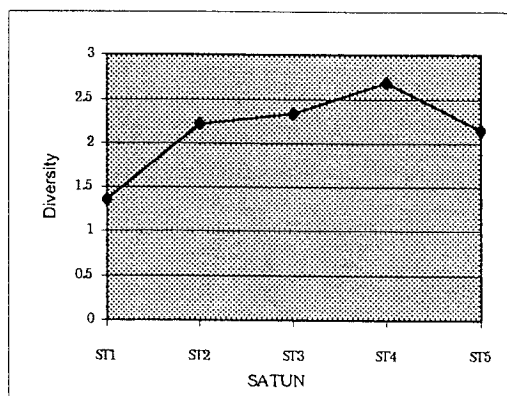
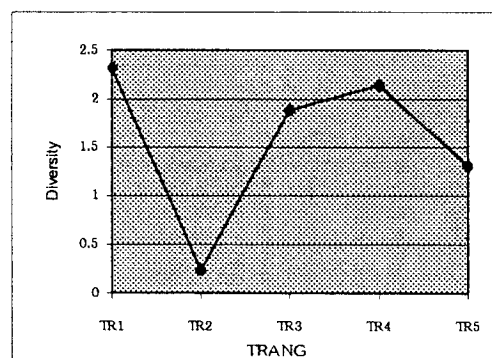
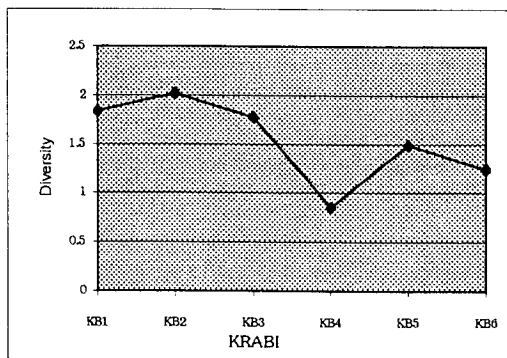
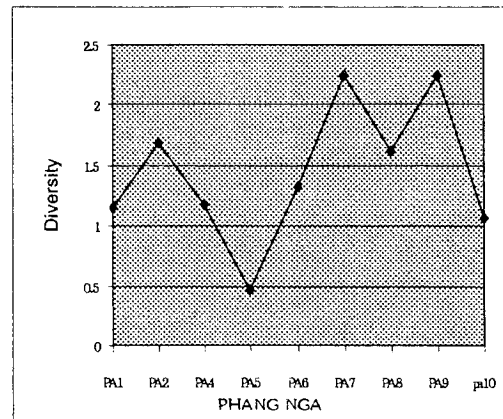
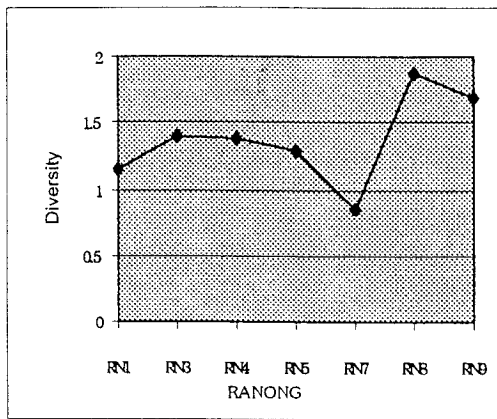
ดินตะกอนจากจังหวัดตรัง (TR1-6) พบร่วมฟอเรมมินิเฟอร่าน้อย มีค่าความหลากหลายตั้งแต่ 0.24-2.32 มีจำนวนชนิดตั้งแต่ 3-13

ดินตะกอนจากจังหวัดสตูล (ST1-5) น่าสนใจในบริเวณนี้ เนื่องจากพบจำนวนฟอเรมมินิเฟอร่ามากและค่าความหลากหลายสูง ซึ่งมีค่าตั้งแต่ 1.3-2.69 โดย ST4 มีค่าความหลากหลายสูงที่สุดในบริเวณทั้งหมดที่ทำการศึกษา ส่วนใหญ่มีเปลือกเป็นซิลิกามีจำนวนชนิดตั้งแต่ 10-26

โดยทั่วไปแล้วแสดงให้เห็นว่า ถ้ามีจำนวนชนิดของฟอเรมมินิเฟอร่ามีค่าสูง มักจะมีค่าความหลากหลายสูงตามไปด้วย แต่ในบางครั้งการกระจายตัวของแต่ละชนิดสม่ำเสมอ ไม่กระจุกตัวที่ชนิดใดชนิดหนึ่ง จะมีค่าความหลากหลายสูงกว่า ค่าของความหลากหลายตัวของฟอเรมมินิเฟอร่าแสดงในตารางที่ 7 และภาพที่ 7

ตารางที่ 7 แสดงความหลากหลายของพืชแรมมินิเพอร์ร่า

Station	Diversity	Station	Diversity
RN 1	1.14	ST 5	2.15
RN 3	1.40	KB 1	1.83
RN 4	1.37	KB 2	2.02
RN 5	1.29	KB 3	1.78
RN 7	0.85	KB 4	0.85
RN 8	1.87	KB 5	1.49
RN 9	1.69	KB 6	1.24
PA 1	1.15	TR 1	2.32
PA 2	1.68	TR 2	0.24
PA 4	1.18	TR 3	1.89
PA 5	0.47	TR 4	2.14
PA 6	1.31	TR 5	1.31
PA 7	2.23	PT 1	1.50
PA 8	1.61	PT 2	2.25
PA 9	2.25	ST 1	1.36
PA 10	1.07	ST 2	2.21
ST 4	2.69	ST 3	2.34



ภาพที่ 7 กราฟแสดงความหลากหลายของพ่อแม่มินิเพอร์ร่าแก้วอ้อย ในจังหวัดระนอง พังงา
กรุงเทพ ตัวงและศรีล

การวิเคราะห์จัดกลุ่ม (Cluster Analysis)

ผลจากการวิจัยพบว่ามี 12 แหล่ง ที่มีจำนวนฟอเรมมินิเพอร่ามากกว่า 200 ตัวขึ้นไป ซึ่ง
หมายความกับการหาค่าทางสถิติ ได้แก่ RN8 PA6 PA7 PA9 PT2 KB1 KB3 KB6 ST1 ST2 ST4
และ ST5

จากการใช้ Program SPSS ช่วยในการจัดกลุ่ม (Cluster analysis) ของแหล่งต่างๆ โดยใช้
สกุลของฟอเรมมินิเพอร่าเป็นหลักสำคัญ สามารถแบ่งออกเป็น 2 กลุ่ม

กลุ่มที่ 1 ประกอบด้วย KB3 และ PT2 ซึ่งดินตะกอนเป็นทรายจากชายทะเล ทั้งสองเป็น
เปลือกชนิดแคลเซียมคาร์บонেตเป็นส่วนใหญ่ และมี 9 สกุลที่อยู่ร่วมกันคือ *Textularia* (เป็นเปลือกซี่
ลิกาสกุลเดียว) *Ammonia*, *Bolivina*, *Elphidium*, *Glabratella*, *Pararotalia*, *Peneroplis*,
Quinqueloculina และ *Triloculina*.

กลุ่มที่ 2 เป็นฟอเรมมินิเพอร่าที่พบในป่าชายเลน จำนวน 10 แหล่ง แบ่งออกเป็น 3 กลุ่ม
ย่อย คือ

2.1 ประกอบด้วย PA7, ST5, ST2, KB1 มี 9 สกุลอยู่ร่วมกันได้แก่ *Ammobaculites*,
Ammoastuta, *Ammotium*, *Arenoparella*, *Haplophragmoides*, *Lituola*, *Miliammina*,
Trilocularena และ *Trochammina* เปลือกเป็นซิลิกาทั้งหมด

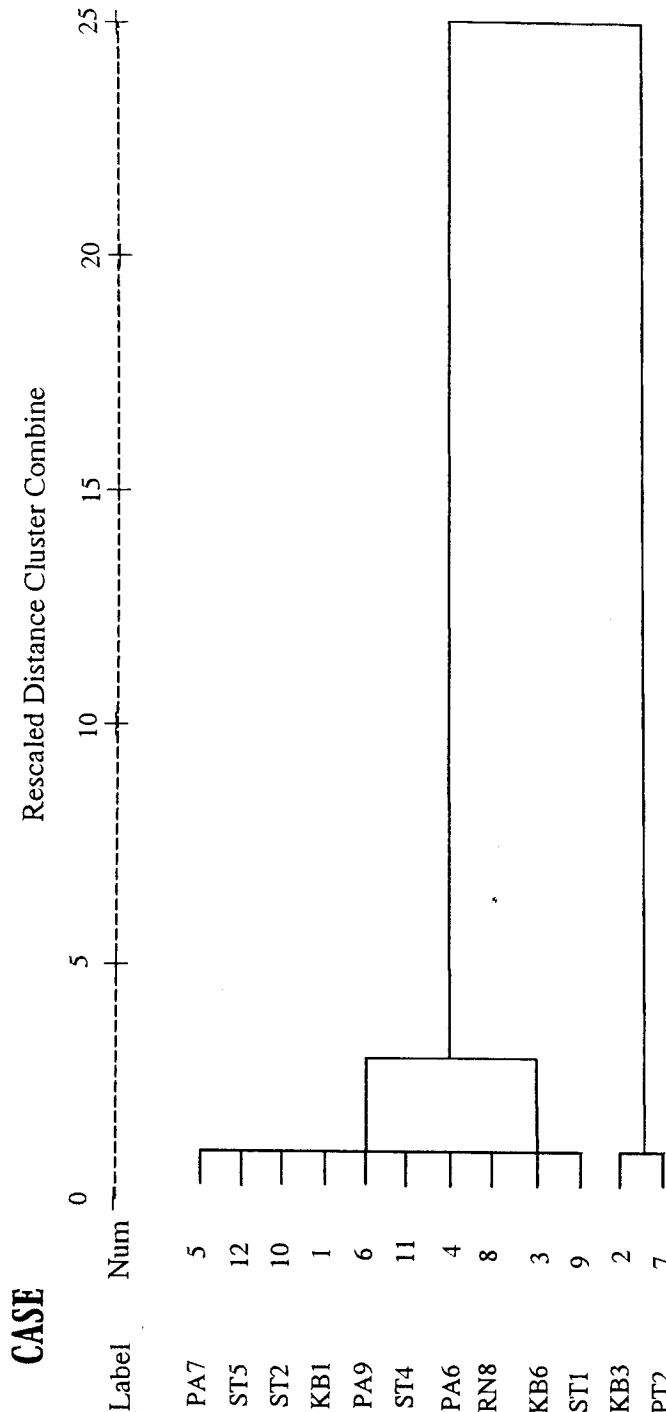
2.2 ประกอบด้วย PA9 ST4 PA6 RN8 และ KB6 มีร่วมกัน 5 สกุล ได้แก่
Ammobaculites, *Arenoparella*, *Miliammina*, *Remaneica* และ *Trochammina* เปลือกเป็นซิลิกา
ทั้งหมด

2.3 ST1 เป็นเพียงแหล่งเดียวในกลุ่มนี้ ประกอบด้วย *Arenoparella*,
Haplophragmoides, *Lituola*, *Miliammina*, *Remaneica*, *Reophax*, *Trilocularena*,
Trochammina และ *Trochammina?* มีเปลือกเป็นซิลิกาทั้งหมดดูภาพที่ 8

ดินตะกอนในบริเวณที่ศึกษาพบว่า มีสิ่งมีชีวิตขนาดเล็กหลายชนิดอาศัยร่วมกับฟอเรมมินิ
เพอร่า ดูจากตารางที่ 8

HIERARCHICAL CLUSTER ANALYSIS

Dendrogram using Average Linkage (Between Groups)



ภาพที่ 8 Cluster analysis จาก 12 แหล่ง โดยใช้ SPSS

ตารางที่ 8 สิ่งมีชีวิตขนาดเล็กที่พบในดินตะกอนร่วมกับพ่อแม่มินิเพอร่า

Station	Diatom	Ostracod	Arcella	Charophyte	Barnacie	Fish scale	Fish vertebrate	Fish teeth
RN 1	×					×		
RN 2		×			×	×	×	
RN 3		×						
RN 4		×						×
RN 7	×		×					
RN 8	×		×					
RN 9	×	×		×				
PA 1		×						
PA 5		×			×			
PA 6	×							
PA 7						×		
PA 8		×					×	
PA 9	×							
PA 10		×	×					
PT 2		×						
KB 1	×	×			×	×	×	
KB 2	×	×						
KB 3		×						
KB 7		×			×			
ST 2				×				
ST 3		×						
ST 4		×						
ST 5	×	×			×	×	×	
TR 1		×			×			
TR 2	×							
TR 3		×						
TR 6			×					

จำนวนและชนิดของฟอเรมมินิเฟอร์ร่า�້າກ່ອຍທີ່ປະໃນກາຮືກໍາຊາດຕາຮາງທີ່ 9

ຕາຮາງທີ່ 9 ແສດງຈຳນວນແລະ ຜົນດຂອງ ພົມແຮມມິນິເຟຝ່ານ້າກ່ອຍ ທີ່ປະໃນກາຮືກໍາຊາດຕາຮາງທີ່ 9 ຈຳນວນດິນຕະກອນທີ່ໃໝ່ໃນກາຮືກໍາ

Location	Total	Amount	Calcareous	Siliceous	Species
KB 1	1534	10	1182	352	34
KB 2	74	10	17	57	13
KB 3	790	10	789	1	18
KB 4	15	10	11	4	4
KB 5	236	20	-	118	10
KB 6	202	10	-	202	8
KB7	19	40	19	-	1
RN 1	20	10	2	18	4
RN 2	1	60	-	1	1
RN 3	17	10	-	17	6
RN 4	102	10	12	90	9
RN 5	17	10	-	17	4
PA 1	15	40	-	15	6
PA 2	127	10	-	127	9
PA 3	-	20	-	-	-
PA 4	40	20	-	40	5
PA 5	99	20	99	-	4
PA 6	254	10	-	254	11
PT 1	47	60	-	47	9
PT 2	1052	10	1050	2	28
TR 1	60	10	29	31	13
TR 2	37	10	1	36	3
TR 3	39	10	17	22	10
TR 4	43	10	-	43	11
TR 5	149	10	-	149	7
TR 6	-	10	-	-	-
ST 1	980	10	-	980	11
ST 2	382	10	-	382	17
ST 3	49	10	-	49	13
ST 4	781	10	-	781	26
ST 5	503	10	3	500	18
RN 6	-	10	-	-	-
RN 7	15	10	-	15	4
RN 8	266	10	-	266	16
RN 9	165	10	-	165	11
PA 7	312	10	1	311	18
PA 8	28	10	-	28	8
PA 9	527	10	-	527	22
PA 10	43	10	-	43	5

การเปรียบเทียบฟอเรมมินิเพื่อร่า�ាกร່ອຍบริเวณทะเลอันดามันและอ่าวไทย

Jummongthai (2000) ได้เคยศึกษาฟอเรมมินิเพื่อร่า�າกร່ອຍจาก 5 จังหวัดภาคใต้ทางด้านอ่าวไทย ตั้งแต่จังหวัดประจวบคีรีขันธ์ ชุมพร สุราษฎร์ธานี นครศรีธรรมราช และสงขลา จำนวน 19 แหล่ง ในหลายสภาพแวดล้อม เช่น ป่าชายเลน คุราบายน้ำ คลอง แม่น้ำ และชายทะเล พบฟอเรมมินิเพื่อร่าทั้งสิ้น 53 ชนิด 29 ชนิด ซึ่งเป็น benthonic ทั้งหมด พบริ้งเปลือกซีลิกา และแคลเซียมคาร์บอนेट ดูตารางที่ 10

ตารางที่ 10 ฟอเรมมินิเพื่อร่าและความเด็้มบริเวณผิ่งทะเลภาคใต้ด้านอ่าวไทย

ความเค็ม (%)	ชนิด
0.8	Trochammina sp.
1.1	Placopsislinella? Haplophragmoides wilberti
2.2	Haplophragmoides spp. Arenoparella mexicana
2.9	Discorbis sp. *Ammonia beccarii tepida Haplophragmoides sp.
3.5	Trochammina inflata
3.6	Ammobaculites agglutinans
6.5	*Asterorotalia pulchella
7.2	Arenoparella mexicana Haplophragmoides sp. Trochammina squamata
8.6	Trochammina spp. Arenoparella mexicana
11.7	Miliammina spp.
13.9	Trochammina?
15.2	*Ammonia spp. *Pararotalia spp., Ammobaculites sp. spp. Trochammina spp.
21.4	Haplophragmoides wilberti Trochammina spp.
23.1	*Asterorotalia spp. *Elphidium spp. *Pararotalia spp.
26.6	*Valvulinaria sp.
30.0	*Ammonia spp.
31.8	*Elphidium spp. *Pararotalia nipponica *Ammonia beccarii *Asterorotalia pulchella

สังเกต *แคลเซียมคาร์บอนेट

จากการเปรียบเทียบฟอเรมมินิเฟอร่าของชายทะเลอันดามันกับของอ่าวไทย พบร่วมชนิดที่อยู่ร่วมกันที่สองบริเวณ ได้แก่ *Arenoparella mexicana*, *Haplophragmoides wilberti*, *Ammotium sp.*, *Miliammina fusca*, *Trochammina spp.*, *Ammobaculites spp.* ซึ่งมีเปลือกซิลิกาพบในบริเวณป่าชายเลน และเนื่องจากบริเวณศึกษาจากชายทะเลฝั่งอ่าวไทย มีความเค็มของน้ำสูงกว่าบริเวณอันดามัน พบร่วมชนิดและจำนวนของเปลือกแคลเซียมคาร์บอเนตหลากหลายมากกว่า

ปัญหาและอุปสรรค พร้อมแนวทางการแก้ไข

1. ฟอเรมมินิเฟอร่าน้ำกร่อยในประเทศไทย ยังไม่เป็นที่รู้จักกันแพร่หลาย โดยเฉพาะอย่างยิ่งในบริเวณป่าชายเลนจากภาคใต้ของประเทศไทย การศึกษาครั้งนี้เป็นจุดเริ่มแรกให้ผู้อื่นมาทำการศึกษาต่อไป

2. ผลของการวิจัยนี้ สามารถใช้เปรียบเทียบกับฟอเรมมินิเฟอร่าน้ำกร่อยในบริเวณอื่นๆ ของประเทศไทยและต่างประเทศ

3. การที่ป่าชายเลนถูกทำลายโดยใช้เป็นที่อยู่อาศัยทำงานกุ้ง ทำให้เกิดผลกระทบต่อสิ่งแวดล้อม และจำนวนของฟอเรมมินิเฟอร่าจะลดจำนวนลงด้วย ซึ่งฟอเรมมินิเฟอร่าจะเป็นห่วงโซ่ออาหารลำดับต้นๆ สำหรับสิ่งมีชีวิต การไม่ทำลายป่าชายเลนจะทำให้เป็นที่อยู่อาศัยของสัตว์น้ำ ซึ่งเป็นแหล่งอาหารของมนุษย์

4. การศึกษาฟอเรมมินิเฟอร่า ซึ่งมีขนาดเล็ก ต้องใช้เวลามากในการคัดเลือกออกจากดินตากอน บางครั้งขนาดตัวอย่าง 10 cc. ต้องใช้เวลาถึง 47 วัน

5. การถ่ายภาพฟอเรมมินิเฟอร่าโดยเครื่อง SEM ทำให้เห็นลักษณะโครงสร้างที่ละเอียดอ่อนได้ชัดเจนยิ่งขึ้น แต่ต้องเสียค่าใช้จ่ายมาก

การวิเคราะห์ผลการวิจัย

ในการศึกษาฟอเรมมินิเฟอร่าน้ำกร่อยครั้งนี้ เป็นการศึกษาโดยรวม (Total population) โดยไม่แยกว่ามีชีวิตหรือตายแล้วออกจากกัน ทั้งจากป่าชายเลนและหาดทราย

อ่าวพังงาซึ่งมีน้ำใสเย็นเข้ม น้ำนั่นไม่เคลื่อนไหว มีต้นไม้ของป่าชายเลนขึ้นอยู่ทั่วไป ดินตากอนประกอบด้วยโคลนและเศษของพืชที่ทับถมกันจนเกิดสภาพเป็นกรด ซึ่งจะทำลายเปลือกแคลเซียมคาร์บอเนตที่ว่างเปล่าของฟอเรมมินิเฟอร่าที่ตายแล้ว ทำให้เจมกจะพบเพียงเปลือกซิลิกาเสียเป็นส่วนใหญ่ มีภาวะหินปูนหล่ายเกาะ บางเกาะมีหาดทรายแคบๆ สันๆ เช่น เกาะราษฎร์ ได้ศึกษาฟอเรมมินิเฟอร่าจากหาดทรายนี้ พบร่วมเปลือกแคลเซียมคาร์บอเนตทั้งหมด เมื่อเปรียบเทียบตัวอย่าง PA5 จากอ่าวพังงา กับตัวอย่างจากภูเก็ต PT2 และจากกระปี่ KB3 ซึ่งเป็นทรายจากชาย

ทະເລ ຈະເໜີນໄດ້ວ່າມີຈຳນວນໜີນິດ ແລະ ປຣິມານັນອຍກວ່າຫາດທຽບປົກຕິ ໃນກາພທີ 6 ແສດງຄຶງ PT2 ແລະ KB3 ມີຟອແຮມມືນິເຟອຮ່າທັງສອງແບບຄື່ອ ເປີ້ອັກແບບຊີລິກາແລະ ແຄລເຊີຍມຄາຮົບອ່ານຸດ

ບຣິເວັນ KB1 ຈາກກາພກາພທີ 9 ຈະເໜີນວ່າຟອແຮມມືນິເຟອຮ່າ ເຊັ່ນ *A.mexicana*, *H.wilberti*, ແລະ *Trochammina spp.* ມີຈຳນວນລດລອງຢ່າງມາກເປັນຈຸດເດືອຍວ ອາຈອອີບາຍໄດ້ວ່າ KB1 ມີຄວາມເຄີມຂອງນໍ້າສູງກວ່າບຣິເວັນຂ້າງເຄີຍ ຄື່ອ PA9 ແລະ KB6 ແລະ pH ກົມື່ອສູງກວ່າຈຶ່ງເປັນສາເຫຼຸດໃຫ້ KB1 ມີຈຳນວນຟອແຮມມືນິເຟອຮ່າມາກທີ່ສຸດ (ມາກກວ່າ 1500) ມີເປີ້ອັກແຄລເຊີຍມຄາຮົບອ່ານຸດຄຶງ 21 ຊົນິດ ໃນປ້າຍເລັນແໜ່ງນີ້ ສິ່ງເປັນເວື່ອງທີ່ນໍາສັງເກົດ ສັນນິປະສົງນາວຸມທີ່ກາງນໍ້າຕິດຕໍ່ອັກບໍ່ທະເລຈຶ່ງໃໝ່ຄວາມເຄີມຂອງນໍ້າມາກກວ່າບຣິເວັນໄກລ໌ເຄີຍ

ຈາກກາວີເຄຣາທີ່ຈັດກຸ່ມ (Cluster Analysis) ສາມາຮັດແບ່ງຟອແຮມມືນິເຟອຮ່າອອກເປັນ 2 ກຸ່ມ ໃຫຍ່ ໂດຍສິ່ງແວດລ້ຳມ່ວນທີ່ແຕກຕ່າງກັນ ຄື່ອ

1. ມາດທຽບ ສ່ວນໃຫຍ່ເປັນເປີ້ອັກແຄລເຊີຍມຄາຮົບອ່ານຸດ
2. ປ້າຍເລັນ ສ່ວນໃຫຍ່ເປັນເປີ້ອັກຊີລິກາ

ຈາກ Cluster analysis ພົມມືນິເຟອຮ່າບຣິເວັນປ້າຍເລັນແບ່ງອອກເປັນ 3 ກຸ່ມ ດັ່ງນີ້

ກຸ່ມທີ 1 ໄດ້ແກ່ ຕ້ວຍຢ່າງ PA7, ST5, ST2, KB1

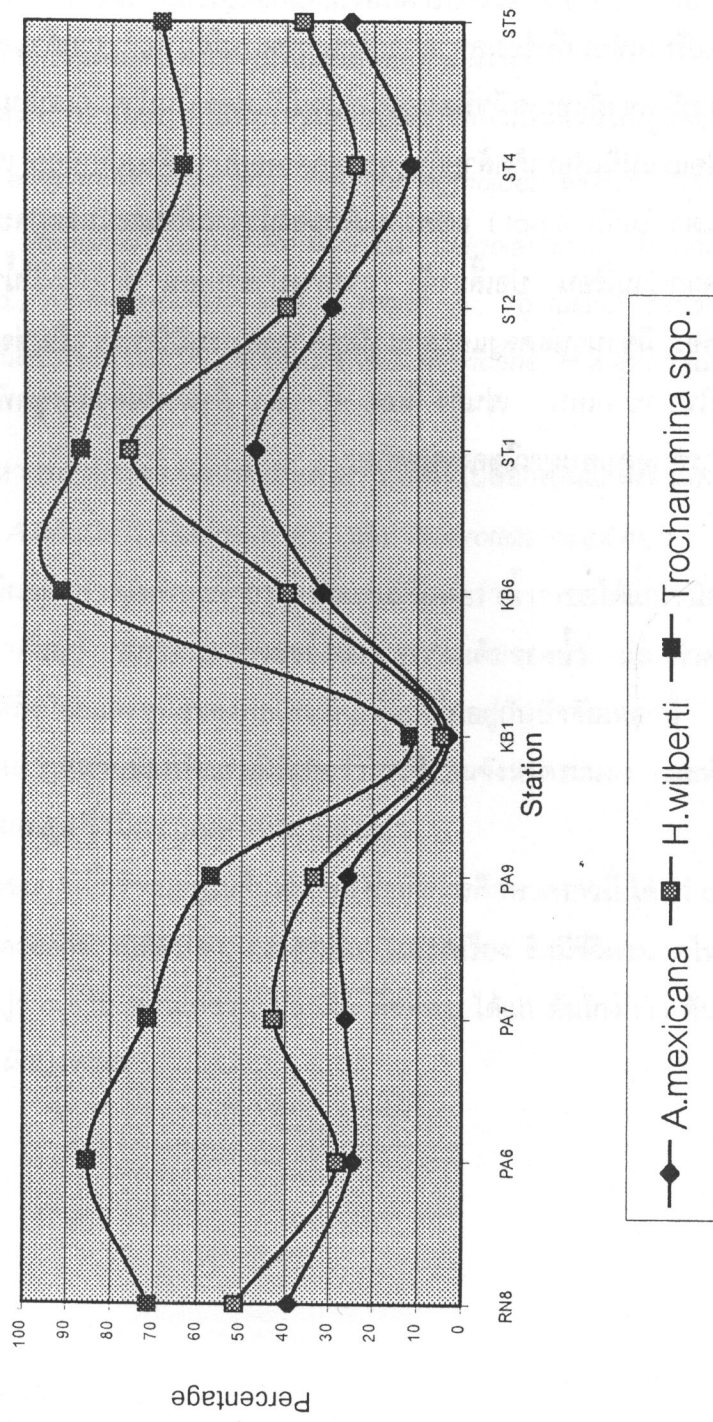
ກຸ່ມທີ 2 ໄດ້ແກ່ ຕ້ວຍຢ່າງ PA9, ST4, PA6, RN8, KB6

ກຸ່ມທີ 3 ໄດ້ແກ່ ST1

ຄວາມສັ້ນພັນຂອງຄ່າ pH ເຊີ່ຍ ຄ່າຄວາມເຄີມຂອງນໍ້າເຊີ່ຍ ຄ່າ Total sulfide ເຊີ່ຍຄ່າຟອສເຟດເຊີ່ຍ ແລະ ຈຳນວນຟອແຮມມືນິເຟອຮ່າໂດຍເຊີ່ຍຂອງແຕ່ລະກຸ່ມດູຈາກຕາງທີ່ 11

ຕາງານທີ 11 ແສດງຄວາມສັ້ນພັນຮ່ວ່າງຈຳນວນຟອແຮມມືນິເຟອຮ່າກັບສິ່ງແວດລ້ຳມ່ວນໃຫຍ່ບຣິເວັນປ້າຍເລັນ

ກຸ່ມ	ຈຳນວນຟອແຮມ ເຊີ່ຍ	pH ເຊີ່ຍ	ຄວາມເຄີມ ຂອງນໍ້າເຊີ່ຍ (%)	Total sulfide	Phosphate ເຊີ່ຍ
1	682	7.7	2.82	1.40	0.06
2	466	7.2	2.14	1.19	0.04
3	980	8.5	4.0	0.38	0.05



ภาพที่ 9 แสดงกราฟรากฐานข้อมูล *A. mexicana*, *H. wilberti* และ *Trochammina spp.* ในบริเวณปากชายฝั่ง

เห็นได้ว่าจำนวนฟอเรมมินิเฟอร์ร่าของป้าชายเลนที่มีค่าสูง มีความสัมพันธ์กับค่า pH และความเค็มของน้ำสูง ขณะเดียวกัน ค่า Total sulfide ต่ำ (เนื่องจากจำนวน Total sulfide มีค่าสูง ไม่เหมาะสมกับการดำรงชีวิตของฟอเรมมินิเฟอร์ร่า) สำหรับความสัมพันธ์กับฟอสฟे�ตไม่ปรากฏชัด

การศึกษาครั้งนี้ ทำให้เราได้รู้เกี่ยวกับฟอเรมมินิเฟอร์ราน้ำกร่อยโดยเฉพาะป้าชายเลนได้ค่อนข้างสมบูรณ์ โดยเปรียบเทียบกับข้อมูลจากการศึกษาฟอเรมมินิเฟอร์ร่าจากด้านตะวันออก (อ่าวไทย) พบว่าผลการศึกษาทั้งสองฝั่งทะเลมีชนิดของฟอเรมมินิเฟอร์ร่าในป้าชายเลนเหมือนกันเป็นอย่างมาก แต่ความเค็มของน้ำจากทะเลอันดามันต่ำ (ไม่เกิน 4 ppt) แต่ความเค็มของน้ำจากด้านตะวันออกจะสูงถึง 31 ppt

ผลกระทบจากบ้านเรือน ปะเลี้ยงกุ้ง การตางป้าชายเลน ทำให้มีเวลามากหล่อเลี้ยงดินแห้ง ทำให้ฟอเรมมินิเฟอร์ร่ามีจำนวนลดลงและตาย เนื่องจากฟอเรมมินิเฟอร์ร่าเป็นห่วงโซ่ออาหารแรกๆ ของสัตว์น้ำที่อาศัยอยู่ในป้าชายเลน เช่น กุ้ง หอย ปู ปลา ถ้าห่วงโซ่ออาหารถูกทำลายลง ก็จะเป็นการทำลายแหล่งอาหารอันดุมสมบูรณ์ของมนุษย์เอง

บทสรุป

1. การศึกษาฟองแรมมินิเพอร่า�้ากร่อยคราวนี้ สามารถจำแนกเป็น 31 วงศ์ 53 สกุล 92 ชนิด โดยมีเปลือกเป็นซิลิกา 44 ชนิด และเปลือกแคลเซียมคาร์บอเนต 48 ชนิด เกือบทั้งหมดเป็นสัตว์ที่อาศัยบนผิวดินได้น้ำ ยกเว้นเพียง 2 ชนิดที่เป็นสัตว์ที่ลอยตามผิวน้ำ
2. ป่าชายเลนจะพบฟองแรมมินิเพอร่าชนิดมีเปลือกซิลิกาเป็นส่วนใหญ่และที่สำคัญ จำนวน 12 ชนิด ได้แก่ *Arenoparella mexicana*, *Haplophragmoides wilberti*, *Miliammina inflata*, *Ammotium spp.*, *Reophax spp.*, *Remaneica helgolandica*, *Trochammina inflata*, *Trochammina spp.*, *Ammobaculites spp.*, *Lituola sp.*, *Textularia earlandi*, *Tiphotrecha comprimata* และชนิดที่มีจำนวนมาก และพบบ่อยได้แก่ *A.mexicana*, *H.wilberti* และ *Trochammina spp.*
3. บริเวณหาดทรายจะพบฟองแรมมินิเพอร่าชนิดที่มีเปลือกเป็นแคลเซียมคาร์บอเนตเป็นส่วนใหญ่ ที่สำคัญ ได้แก่ *A.beccarii*, *Elphidium spp.* และ *Pararotalia nipponica*
4. ปัจจัยที่มีผลต่อการแพร่กระจายของฟองแรมมินิเพอร่า�้ากร่อยได้แก่ ชนิดของตะกอนได้น้ำ ที่ฟองแรมมินิเพอร่าอาศัยอยู่ สภาพลักษณะของน้ำ ความเค็มของน้ำ และค่าความเป็นกรด-ด่าง ของน้ำ จำนวนมากหรือน้อยและชนิดของฟองแรมมินิเพอร่าขึ้นอยู่กับปัจจัยเหล่านี้
5. ความหลากหลายของฟองแรมมินิเพอร่าในบริเวณจังหวัดระนอง และพังงา จะมีค่าน้อยเมื่อเทียบกับในบริเวณสตูล ซึ่งมีความหลากหลายสูงกว่า
6. สิ่งมีชีวิตขนาดเล็กที่พบอยู่ในดินตะกอน ซึ่งทำการศึกษาครานี้ ได้แก่ ostracod, diatom charophyte, arcellaceans, เกล็ดปลา, กระดูกปลา และเพรียง สิ่งมีชีวิตขนาดใหญ่ที่พบในบริเวณศึกษาได้แก่ นูเلاء นูก้ามดาบ หอนเสฉวน ปลาดิน พืชที่พบ ได้แก่ ต้นโงกง กาง ต้นลำพู ต้นจาก ต้นเหงือกปลาหมอและ ผักบุ้งทะเล

เอกสารอ้างอิง

- Alve, E. and Nagy, J., 1986. Estuarine foraminiferal distribution in Sandebukta, a branch of the Oslo Fjord. *Journal of Foraminiferal Research*, 16 (4) : 261-284.
- Barker, R.W., 1960. Taxonomic notes on the species figured by H.B.Brady in his report on the foraminifera dredged by H.M.S. Challenger during the years 1873-1876, Society Economic Paleontologists and Mineralogists, Special Publication no.9, 238 p.
- Bock, W.D., Lynts, G.W., Smith, S., Wright, R., Hay, W.W., and Jones, J.I., 1971. A symposium of Recent South Florida foraminifera. In J.I. Jones and W.D. Bock (eds) memoir 1, Miami Geological Society, 245 p.
- Cole, F.E., 1981. Taxonomic notes on the bathyal zone benthonic foraminiferal species off Northeast Newfoundland. Bedford Institute of Oceanography, Nova Scotia, Canada, 121 p.
- Cushman, J.A., 1917. A monograph of the foraminifera of the North Pacific Ocean, United States National Museum, Bulletin 71, Part 6.
- Debenay, J., 1990. Recent foraminiferal assemblages and their distribution relative to environmental stress in the paralic environments of West Africa (Cape Timiris to Ebrie Lagoon). *Journal of foraminiferal research*, 20 (30) : 267-282.
- Hayward, B.W. and Hollis, C.J., 1994. Brackish foraminifera in New Zealand. A taxonomic and ecologic review. *Micropaleontology* 40 (3) : 185-222.
- Jumnongthai, J., 2000. Brackish foraminifera from southern provinces along the Gulf of Thailand. In Proceeding, The comprehensive assessments on impacts of sea-level rise, Cha-am, Phetchaburi. Geological Survey Division, Department of Mineral Resources : 98-109.
- Loeblich, A.R., Jr., and Tappan, H., 1964. Sarcodina, chiefly "thecamoebians" and Foraminiferida. Treatise on invertebrate paleontology. In. Moor, R.C. (ed), The Geological Society of America and The University of Kansas Press, Part.C, Protista 2, 2 vols.

- Matoba, Y., 1970. Distribution of Recent shallow water foraminifera of Matsushima Bay, Miyagi Prefecture, Northeast Japan. Tohoku University, Science Report, Second series (Geology), 42 (1), 85 p.
- Patteson, T.R., 1990. Intertidal benthic foraminiferal biofacies on the Fraser River Delta. British Columbia. Modern distribution and paleoecological importance. Micropaleontology 36 (3) : 229-244.
- Rao, T.V. and Rao, M.S., 1974. Recent foraminifera of Suddagedda estuary, east coast of India. Micropaleontology 20 (4) : 398-419.
- Scott,D.B., Medioli, F.S., and Schafer, C.T., 1977. Temporal changes in foraminiferal distributions in Miramichi River estuary, New Brunswick. Canadian Journal of Earth Sciences 14 (7) : 1566-1584.
- Scott, D.B., Medioli, F.S., 1980. Quantitative studies of marsh foraminiferal distributions in Nova Scotia. Implications for sea level studies. Cushman Foundation for Foraminiferal Research, Special Publication 17 : 1-47.
- Scott, D.B., Suter, J.R. and Kosters, E.C., 1991. Marsh foraminifera and arcellaceans of the lower Mississippi Delta. Controls on spatial distribution. Micropaleontology 37 (4) : 373-392.
- วันชัย อิงปัญจลักษณ์, 2539. ป่าชายเลน โรงพิมพ์ไทยวัฒนาพานิช จำกัด 93 หน้า
- สิน สินสกุล, 2540. ชายฝั่งทะเลไทย. สถานภาพการศึกษาวิทยาศาสตร์ทางทะเลและสมุทรศาสตร์ สำนักงานคณะกรรมการวิจัยแห่งชาติ
- สมสุข มัจฉาชีพ, 2524. นิเวศวิทยา แพร่พิทaya 212หน้า
- สุริวงศ์ พงศ์เพบูลย์, 2539. ภูมิทัศน์วัฒนธรรมภาคใต้ ในภูมิทัศน์ไทย สำนักงานเศรษฐกิจวิจัย ลักษณะของชาติ หน้า 187-252.

ภาคผนวก

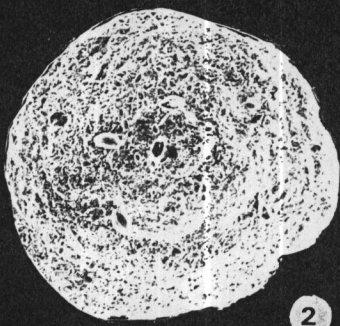
แผ่นภาพและคำบรรยาย

ແຜ່ນກາພທີ 1

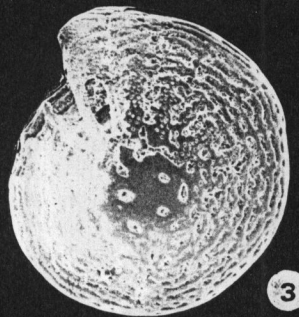
- ກາພທີ 1-2 *Remaneica helgolandica* Rhumbler ຈາກ PA 1 ຈ.ພັງງາ ກາພທີ 1 ເປັນກາພດ້ານໜ້າ
ກາພທີ 2 ເປັນກາພດ້ານຫລັງ
- 3 *Elphidium craticulatum* (Fichtel and Moll) ຈາກ KB7 ຈ.ກະບູ
- 4 *Trochammina inflata* (Montagu) ຈາກ RN2 ຈ.ຮະນອງ
- 5 – 6 *Arenoparella mexicana* (Kornfeld) ຈາກ KB5 ຈ.ກະບູ
- 7 *Reophax nodulosus* Brady ຈາກ KB5 ຈ.ກະບູ



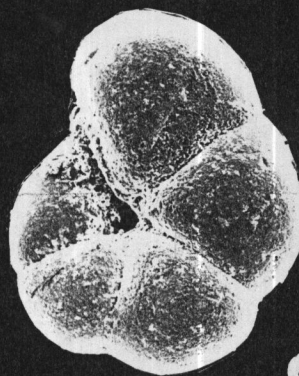
1
176 µm. —————



2
200 µm. —————



3
.30 mm. —————



4
.30 mm. —————



5
136 µm. —————



6
136 µm. —————



7
.30 mm. —————

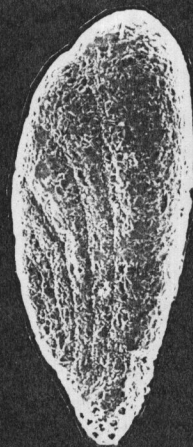
แผ่นภาพที่ 2

- ภาพที่ 1 *Haplophragmoides wilberti* Andersen จาก PA1 จ.พังงา
2 *Ammoastuta inepta* (Cushman and Mc Culloch) จาก KB5 จ.กรุงปี
3 *Miliammina fusca* (Brady) จาก KB5 จ.กรุงปี
4 *Ammotium fragile* Warren จาก KB5 จ.กรุงปี
5 *Ammobaculites agglutinans* (d'Orbigny) จาก KB5 จ.กรุงปี
6 *Textularia earlandi* Parker จาก KB5 จ.กรุงปี

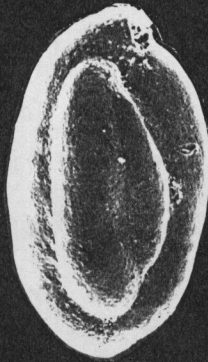


1

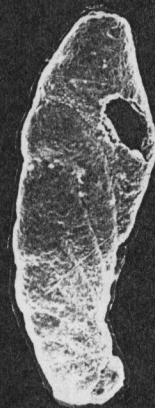
.30 mm. —————



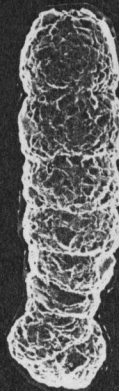
2

120 μm . —————

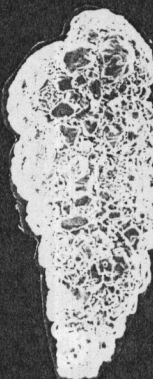
3

176 μm . —————

4

120 μm . —————

5

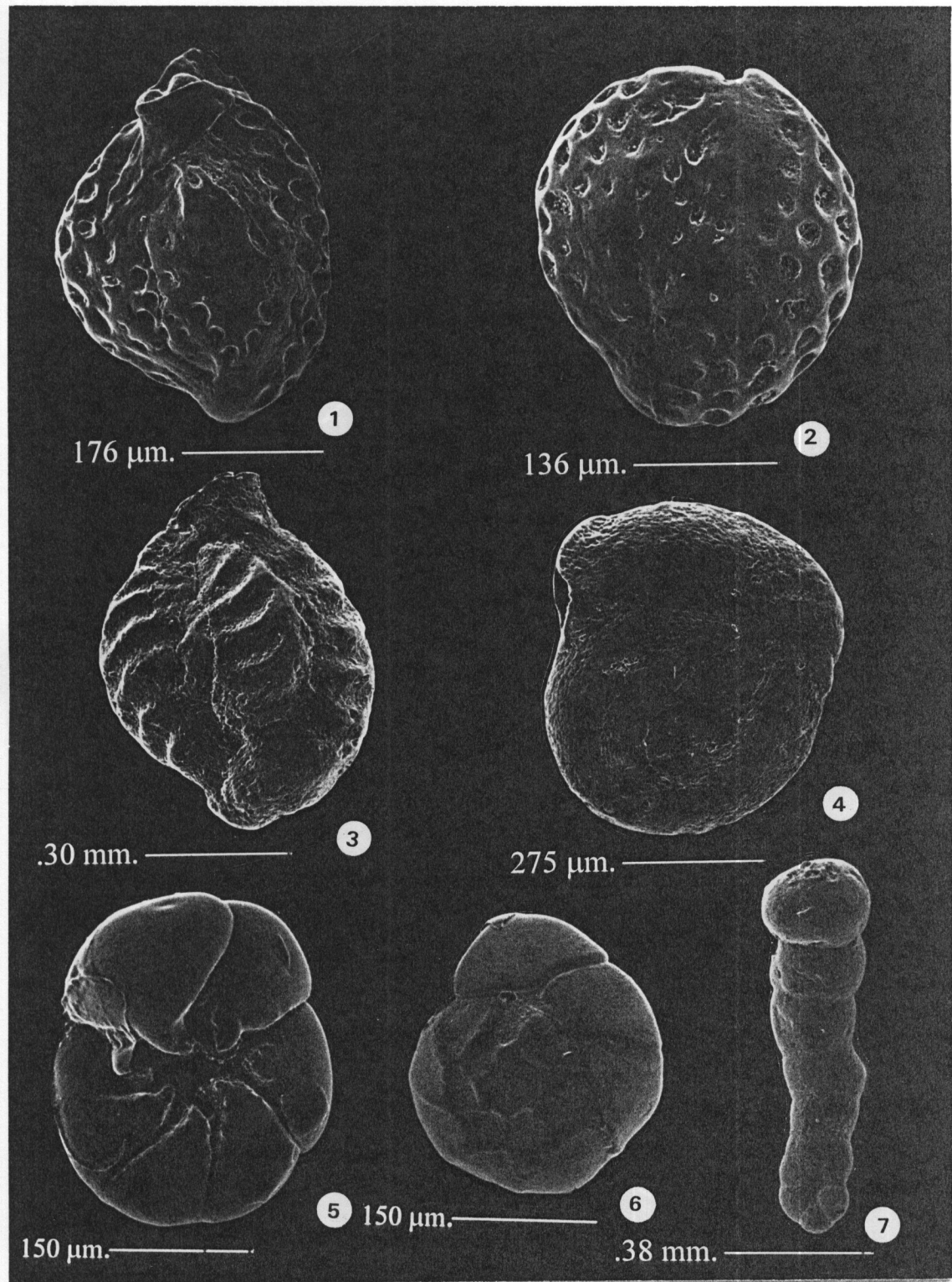
200 μm . —————

6

136 μm . —————

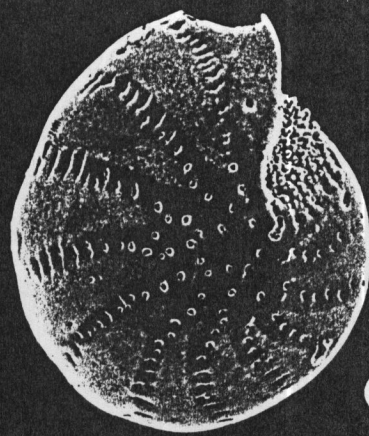
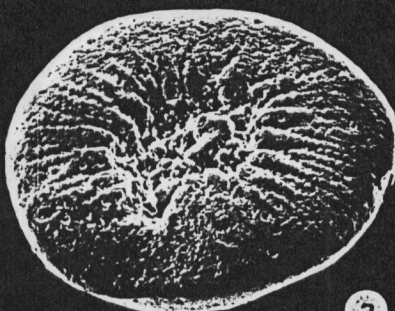
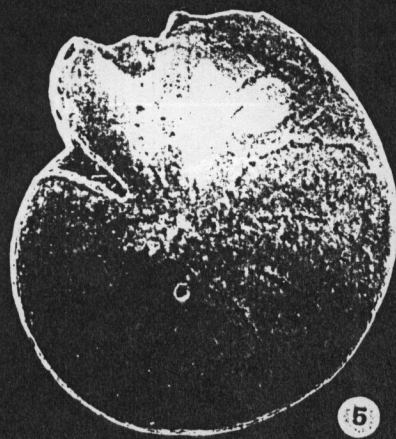
แผ่นภาพที่ 3

- ภาพที่ 1-2 *Quinqueloculina reticulata* (d'Orbigny) จาก PT2 ท่าฉัตรไชย จ.ภูเก็ต ภาพที่ 1 เป็นภาพด้านหน้า ภาพที่ 2 เป็นภาพด้านหลัง
- 3 *Quinqueloculina parkeri* (Brady) จาก KB3 จ.กรุงปี เป็นภาพด้านหน้า
- 4 *Pseudomassilina australis* (Cushman) จาก KB3 จ.กรุงปี
- 5 – 6 *Ammonia beccarii* (Linn'e) จาก PT2 ท่าฉัตรไชย จ.ภูเก็ต รูปที่ 5 เป็นภาพด้านหน้า ภาพที่ 6 เป็นภาพด้านหลัง
- 7 *Lituola sp.* จาก TR1 จ.ตรัง



แผ่นภาพที่ 4

- ภาพที่ 1 *Elphidium crispum* (Linn'e) จาก PT2 ท่าฉัตรไชย จ.ภูเก็ต
- 2 *Elphidium somaense* Takayanagi จาก PT2 ท่าฉัตรไชย จ.ภูเก็ต
- 3 – 4 *Glabratella patelliformis* (Brady) ภาพที่ 3 เป็นภาพด้านหน้า
ภาพที่ 4 เป็นภาพด้านหลัง ทั้งสองภาพจาก PT2 ท่าฉัตรไชย จ.ภูเก็ต
- 5 *Heterostegina cf. H.curva* Moebius จาก PT2 ท่าฉัตรไชย จ.ภูเก็ต
- 6 *Reusella sp.* จาก KB3 จ.กรุงปี

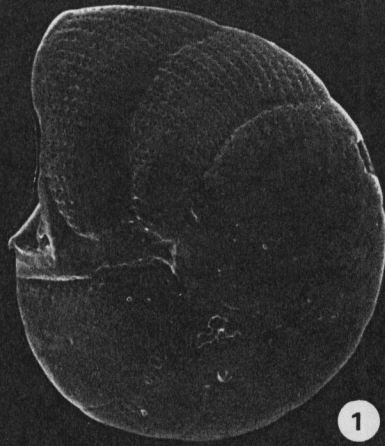
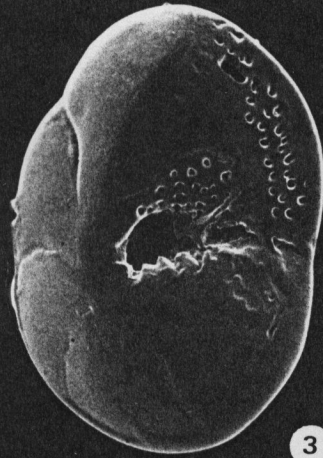
150 μm .176 μm .120 μm .120 μm .

.38 mm.

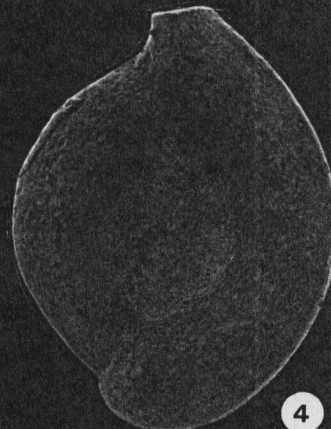
150 μm .

แผ่นภาพที่ 5

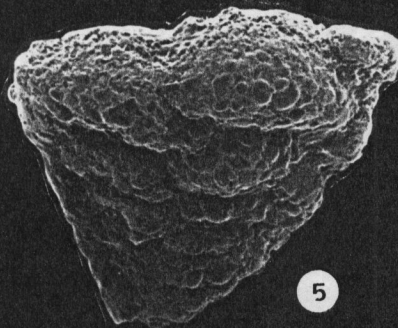
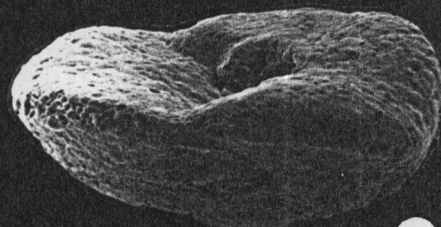
- ภาพที่ 1-2 *Peneroplis carinatus* d'Orbigny ภาพที่ 1 เป็นภาพด้านข้าง ภาพที่ 2 เป็นภาพเอียงแสดงให้เห็นรูปเปิด ทั้งสองภาพจาก PT2 ท่าฉัตรไชย จ.ภูเก็ต
- 3 *Eponides repandus* (Fichtel and Moll) เป็นภาพเอียงจาก PT2 ท่าฉัตรไชย จ.ภูเก็ต
 - 4 *Spiroloculina sp. B* จาก PT2 ท่าฉัตรไชย จ.ภูเก็ต
 - 5 *Textularia candeiana* จาก PT2 ท่าฉัตรไชย จ.ภูเก็ต
 - 6 *Textularia cf. T.conica* จาก PT2 ท่าฉัตรไชย จ.ภูเก็ต

250 μm .200 μm .

.30 mm.



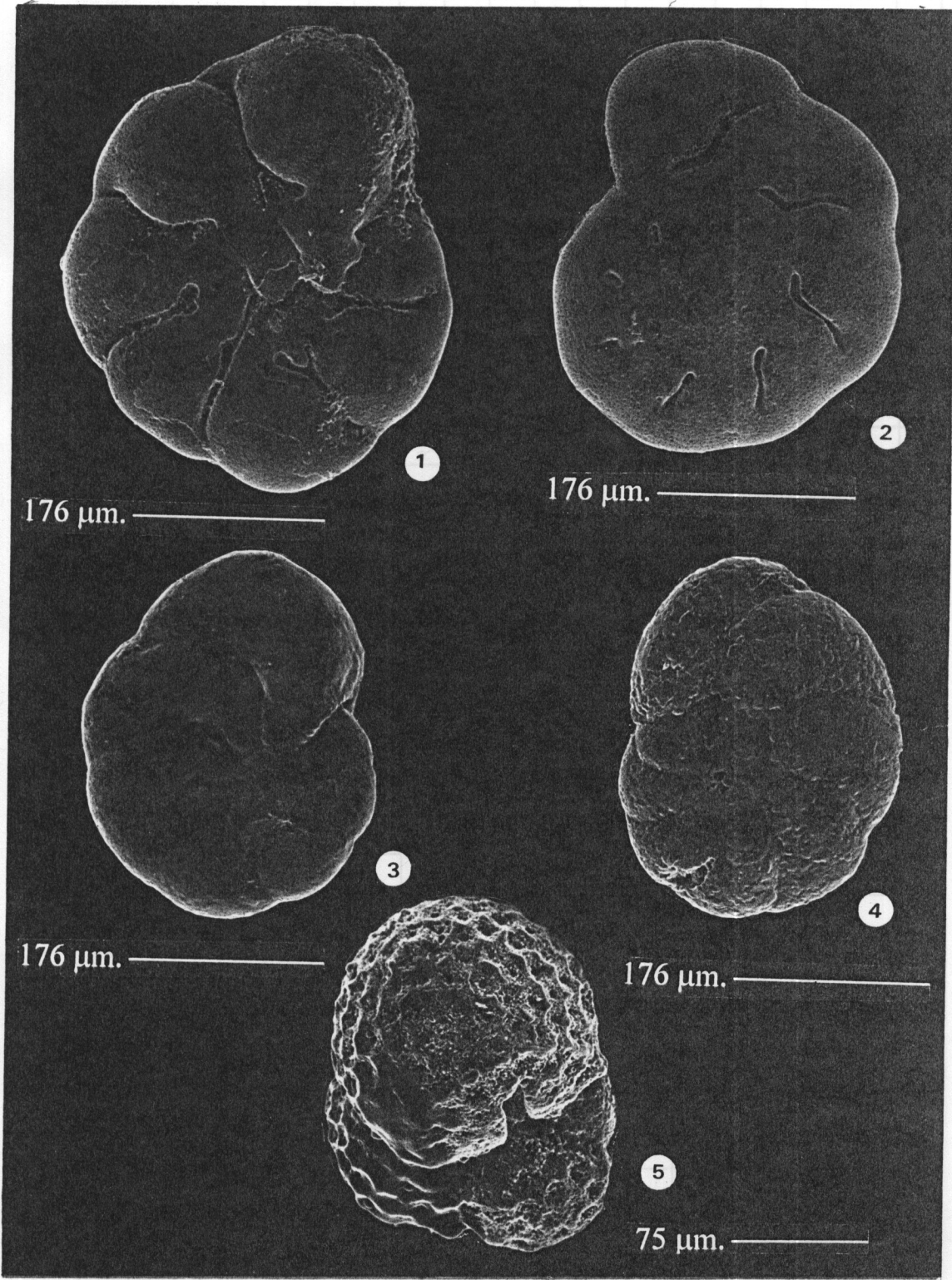
.38 mm.

250 μm .

.43 mm.

ແຜ່ນກາພທີ 6

- ກາພທີ 1-2 *Helenina anderseni* (Warren) ກາພທີ 1 ເປັນກາພດ້ານහັ້າແລະກາພທີ 2 ເປັນກາພດ້ານ
හລັງ ຈາກ TR3 ຈ.ຕຮັງ
- 3 - 4 *Tiphotrocha comprimata* (Cushman and Brönnimann) ກາພທີ 3 ເປັນກາພດ້ານຫັ້າ
ແລະກາພທີ 4 ເປັນກາພດ້ານຫລັງ ຈາກ TR3 ຈ.ຕຮັງ
- 5 *Globigerina rubescens*. Hofker ຈາກ PT2 ທ່ານ້ຳຕຽຍ ຈ.ກູເກີຕ



ຕារាងទៅ 12 នៃតំបន់ពរក្រុងរដ្ឋបាយខាងក្រោមនៃពន្លេរាន់រដ្ឋបាយប្រព័ន្ធសម្រាក់ 100

Taxa/locality																										
ARENACEOUS FORAM		R ₂₃	R ₂₄	R ₂₅	R ₂₆	R ₂₇	R ₂₈	R ₂₉	R ₃₀	R ₃₁	R ₃₂	R ₃₃	R ₃₄	R ₃₅	R ₃₆	R ₃₇	R ₃₈	R ₃₉	R ₄₀	R ₄₁	R ₄₂	R ₄₃	R ₄₄	R ₄₅		
Ammobaculites agglutinans								C	R	C																
A. americanus												R			F	R										
A. calcareus												R														
Ammobaculites spp.		R	R	R	R	R	R	F				R			R	F										
A. exiguis			C	R							C						R	F								
Ammoastuta inepta			R	R	R	R	R				F	R			R	R	R	R								
Ammodiscus sp.											R	R	R	R		R										
Ammarginula sp.						R						F														
Ammotium sp.											R					R		R								
A. cassis		F		F		F												R								
A. fragile		R					C	R	C		C								R							
A. salsum																										
Arenoparella mexicana	C	F	R	F	A	C	C	C	C	F	A	F			C	C		A	C	F	F	C	A	A	R	
Globotextularia sp.																										
Glomospira ?																										
G.gordialis																										
Haplophragmoides cf. H. bomplandi																			R							

ตารางที่ 12 แสดงตารางเพรียบเทียบขนาดของตัวแปรตามที่ได้จากการแบบ半定量 (semi-quantitative) สำหรับ R = 1-3 F = 4-10 C = 11-99 และ A มากกว่า 100

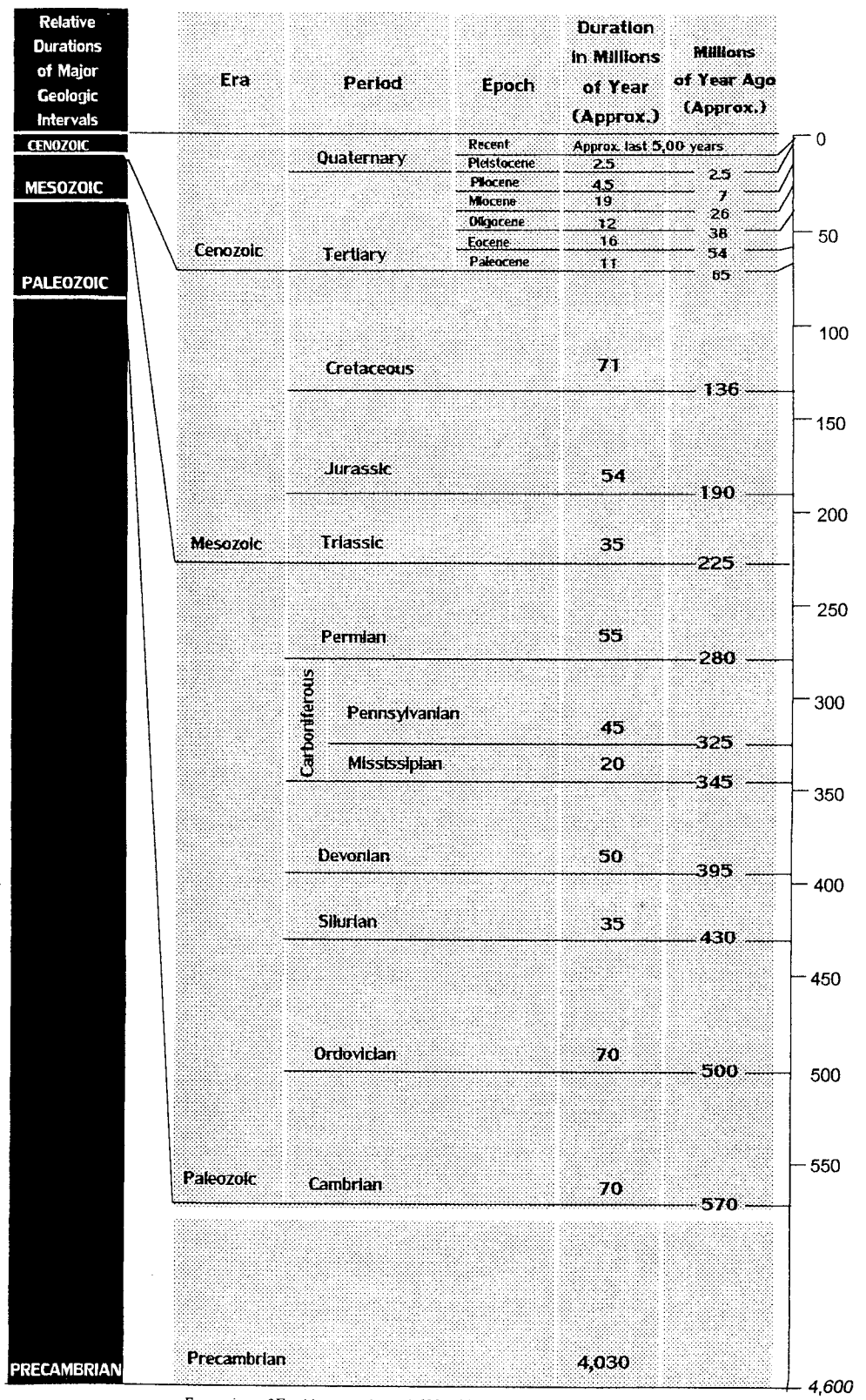
ตารางที่ 12 และตารางที่ 13 แสดงการพัฒนาและทดสอบความแม่นยำของผลลัพธ์สำหรับการตัดสินใจเชิงปริมาณ (semi-quantitative) ที่ทางศูนย์ R = 1-3 F = 4-10 C = 11-99 และ A มากกว่า 100

ตารางที่ 12 เมตริกการบรรยายเชิงปริมาณของรากที่แยกแบบปริมาณ半 (semi-quantitative) กำหนดให้ $R = 1-3$ $F = 4-10$ $C = 11-99$ และ A มากกว่า 100

ศาสตราจารย์ที่ 12 และศัลการแพทย์วิรชัยชุมพรและนิพนธ์อ้วนวิจิตร ผู้เชี่ยวชาญด้านการรักษากระเพาะปัสสาวะ สถาบันวิจัยและพัฒนาการรักษากระเพาะปัสสาวะ โรงพยาบาลกรุงเทพ สำหรับผู้ป่วยที่มีภาวะหัวใจล้มเหลว ต้องมีการรักษาควบคู่กับการรักษากระเพาะปัสสาวะ ให้ได้ผลดีที่สุด

ตารางที่ 12 ผลของการพัฒนาชุดทดสอบทักษะภาษาไทยที่มีความสอดคล้องกับแบบประเมินปริมาณ半定量 (semi-quantitative) กำหนดให้ $R = 1-3$ $F = 4-10$ $C = 11-99$ และ A มากกว่า 100

GEOLOGIC TIME SCALE



Formation of Earth's crust about 4,600 million years ago

Radiometric ages after Harland and others, 1964